

Duality Constraints on String Theory

Hiroataka Irie (YITP, Kyoto Univ.)

2013年8月23日 基研研究会2013 「場の理論と弦理論」

based on collaborations with

Chuan-Tsung Chan (Tunghai Univ.) and Chi-Hsien Yeh (NCTS)

Main Reference

[CIY5], “Duality Constraints on String Theory I: spectral networks and instantons,”
arXiv:1308.**** **(appear soon in the next week!)**

話したいこと

話したいこと

- 摂動論（ラーゼン）で双対性が見える
v.s. 非摂動論で双対性が実現される

話したいこと

- 摂動論（ラーゼン）で双対性が見える
v.s. 非摂動論で双対性が実現される
- 非摂動的定式化が非摂動的不定性
(Non-perturbative [contour] ambiguity)
を持ちうること

話したいこと

- 摂動論（ラージN）で双対性が見える
v.s. 非摂動論で双対性が実現される
- 非摂動的定式化が非摂動的不定性
(Non-perturbative [contour] ambiguity)
を持ちうること
- 双対性を非摂動論的に捉えることができれば、
非摂動論的不定性が制限されることを見る

始める前の注意

- 「ミニマル弦理論」を考えるが、Topological Recursion/スペクトラル曲線で記述される範囲の弦理論・行列模型・可積分系に容易に拡張出来る
(ただし、 β -ensemble/量子スペクトラル曲線の時はあまり容易ではない)
- DSL (Double Scaling Limit) は本質的ではない： $g = N^{-1}$

次の2つの系は同じか？

Two-matrix model

$$\mathcal{Z} = \int dX dY e^{-N \text{tr}[V_1(X) + V_2(Y) - XY]}$$

次の2つの系は同じか？

Two-matrix model

$$\mathcal{Z} = \int dX dY e^{-N \text{tr}[V_1(X) + V_2(Y) - XY]}$$

“Yを先に積分”

X-system

次の2つの系は同じか？

Two-matrix model

$$\mathcal{Z} = \int dX dY e^{-N \text{tr}[V_1(X) + V_2(Y) - XY]}$$

“Yを先に積分”

X-system

“Xを先に積分”

Y-system

次の2つの系は同じか？

Two-matrix model

$$\mathcal{Z} = \int dX dY e^{-N \text{tr}[V_1(X) + V_2(Y) - XY]}$$

“Yを先に積分”

“Xを先に積分”

X-system

Y-system

spectral (p-q) dual

次の2つの系は同じか？

Two-matrix model

$$\mathcal{Z} = \int dX dY e^{-N \text{tr}[V_1(X) + V_2(Y) - XY]}$$

“Yを先に積分”

“Xを先に積分”

X-system

Y-system

spectral (p-q) dual

注) XとYはそれぞれ互いに双対な時空を表す

≡ Double Field Theory

Large N (摂動論) で見る

Large N (摂動論) で見る

スペクトラル曲線の比較

X-system



Y-system

Large N (摂動論) で見る

スペクトラル曲線の比較

X-system



Y-system

行列 X のレゾルベント

$$R(x) = \left\langle \frac{1}{N} \text{tr} \frac{1}{x - X} \right\rangle$$

行列 Y のレゾルベント

$$\tilde{R}(y) = \left\langle \frac{1}{N} \text{tr} \frac{1}{y - Y} \right\rangle$$

Large N (摂動論) で見る

スペクトラル曲線の比較

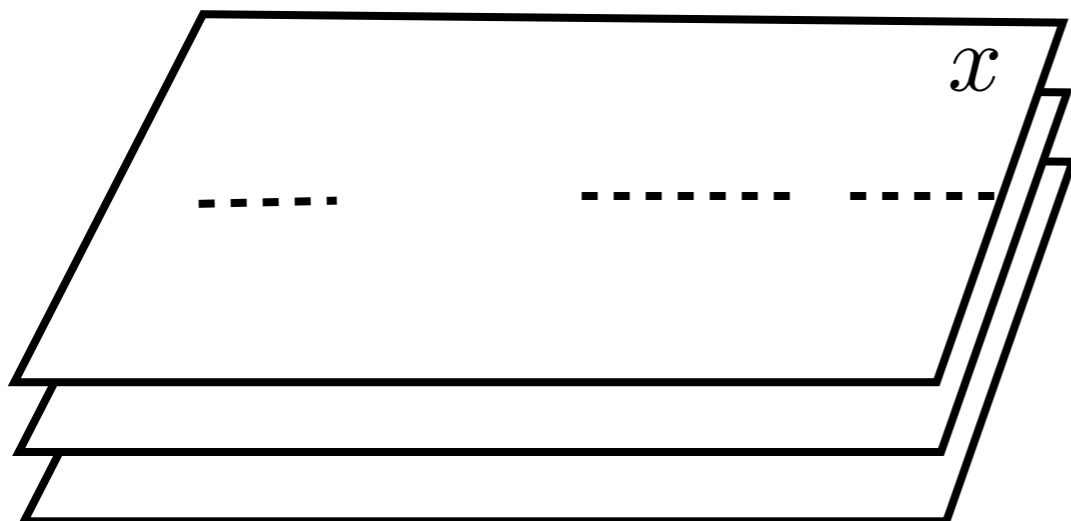
X-system



Y-system

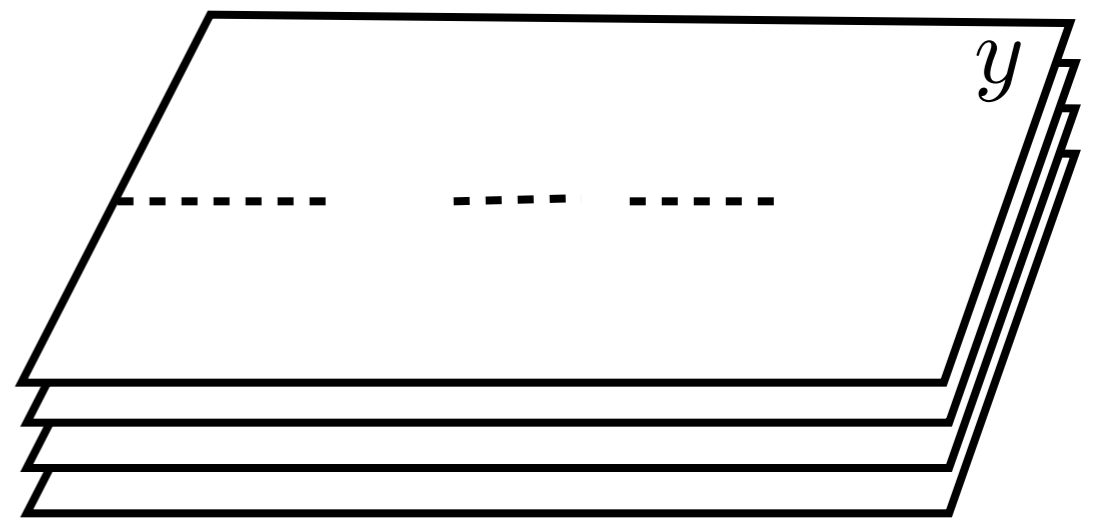
行列 X のレゾルベント

$$R(x) = \left\langle \frac{1}{N} \text{tr} \frac{1}{x - X} \right\rangle$$



行列 Y のレゾルベント

$$\tilde{R}(y) = \left\langle \frac{1}{N} \text{tr} \frac{1}{y - Y} \right\rangle$$



Large N (摂動論) で見る

スペクトラル曲線の比較

X-system



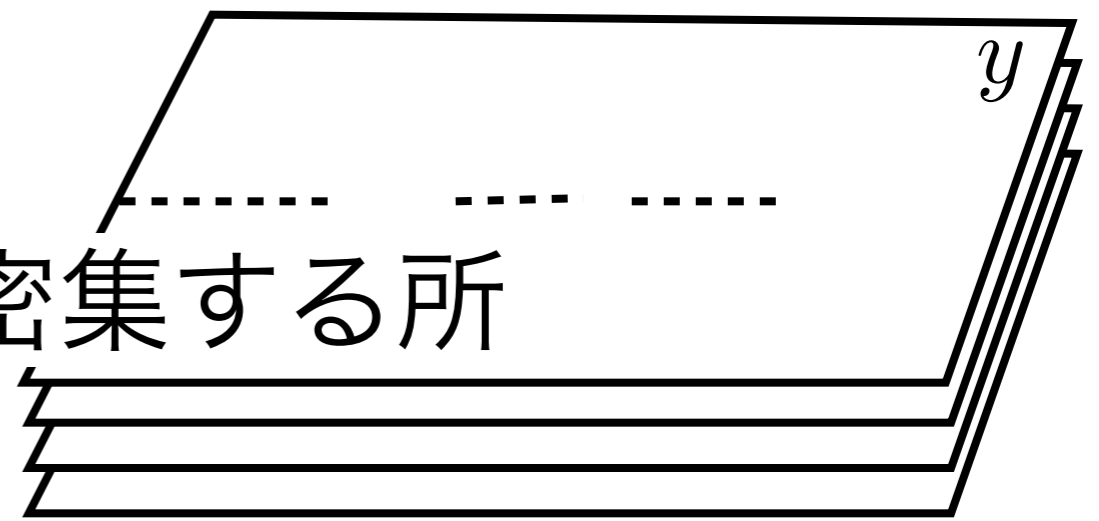
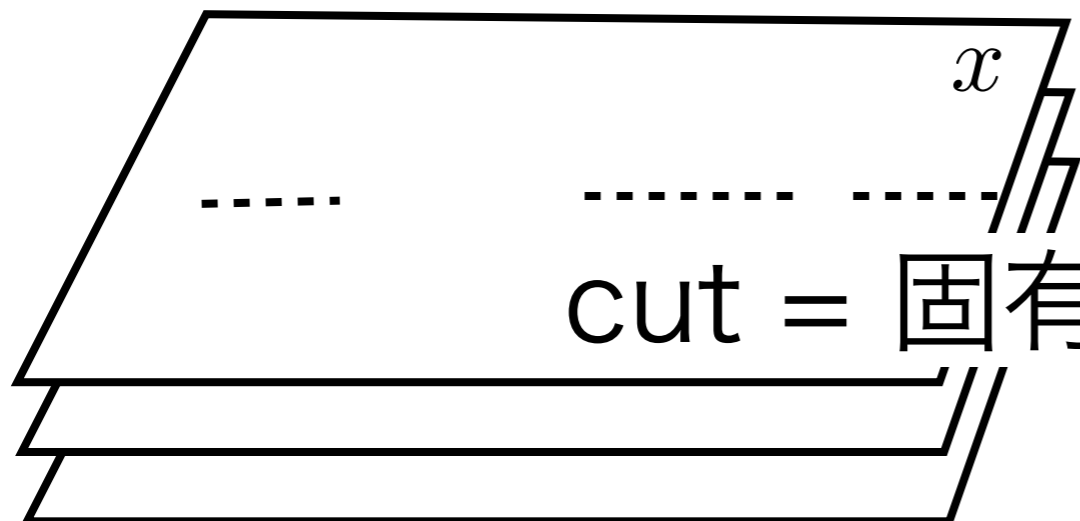
Y-system

行列 X のレゾルベント

$$R(x) = \left\langle \frac{1}{N} \text{tr} \frac{1}{x - X} \right\rangle$$

行列 Y のレゾルベント

$$\tilde{R}(y) = \left\langle \frac{1}{N} \text{tr} \frac{1}{y - Y} \right\rangle$$



cut = 固有値が密集する所

Large N (摂動論) で見る

スペクトラル曲線の比較

X-system



Y-system

行列 X のレゾルベント

$$R(x) = \left\langle \frac{1}{N} \text{tr} \frac{1}{x - X} \right\rangle$$

行列 Y のレゾルベント

$$\tilde{R}(y) = \left\langle \frac{1}{N} \text{tr} \frac{1}{y - Y} \right\rangle$$



固有値密度関数が読み取れる

Large N (摂動論) で見る

スペクトラル曲線の比較

X-system



Y-system

行列 X のレゾルベント

$$R(x) = \left\langle \frac{1}{N} \text{tr} \frac{1}{x - X} \right\rangle$$

行列 Y のレゾルベント

$$\tilde{R}(y) = \left\langle \frac{1}{N} \text{tr} \frac{1}{y - Y} \right\rangle$$

$$F(x, R) = 0 \quad x$$

$$\tilde{F}(y, \tilde{R}) = 0 \quad y$$

cut = 固有値が密集する所

固有値密度関数が読み取れる

Large N (摂動論) で見る

スペクトラル曲線の比較

X-system



Y-system

行列 X のレゾルベント

$$R(x) = \left\langle \frac{1}{N} \text{tr} \frac{1}{x - X} \right\rangle$$

行列 Y のレゾルベント

$$\tilde{R}(y) = \left\langle \frac{1}{N} \text{tr} \frac{1}{y - Y} \right\rangle$$

$$F(x, R) = 0 \quad x$$

$$\tilde{F}(y, \tilde{R}) = 0 \quad y$$

実は、スペクトラル曲線は本質的に同じ

$$\tilde{F}(y, x) = F(x, y) = 0$$

スペクトラル曲線が双対

$$F(x, y) = 0 \quad x \leftrightarrow y$$

スペクトラル曲線が双対

$$F(x, y) = 0 \quad x \leftrightarrow y$$

Symplectic Invariance

X-system



Y-system

スペクトラル曲線が双対

$$F(x, y) = 0 \quad x \leftrightarrow y$$

Symplectic Invariance

$$F(x, R) = 0$$

X-system

$$\tilde{F}(y, \tilde{R}) = 0$$

Y-system

Topological Recursion [Eynard-Orantin '07]

(=Loop Eqs)で摂動論の全次数が復活できる

スペクトラル曲線が双対

$$F(x, y) = 0 \quad x \leftrightarrow y$$

Symplectic Invariance

$$F(x, R) = 0$$

X-system

$$\tilde{F}(y, \tilde{R}) = 0$$

Y-system

Topological Recursion [Eynard-Orantini '07]

(=Loop Eqs)で摂動論の全次数が復活できる

特に、自由エネルギーの摂動展開係数はすべて一致

$$\mathcal{F}_{\text{pert}}(g) = \sum_{n=0}^{\infty} g^{2n-2} \mathcal{F}_n$$

スペクトラル曲線が双対

$$F(x, y) = 0 \quad x \leftrightarrow y$$

Symplectic Invariance

$$F(x, R) = 0$$

X-system

$$\tilde{F}(y, \tilde{R}) = 0$$

Y-system

Topological Recursion [Eynard-Orantini '07]

(=Loop Eqs)で摂動論の全次数が復活できる

特に、自由エネルギーの摂動展開係数はすべて一致

$$\mathcal{F}_{\text{pert}}(g) = \sum_{n=0}^{\infty} g^{2n-2} \mathcal{F}_n$$

インスタントンは曲線の変形で与えられて、同様に一致

$$\mathcal{F}_{\text{Inst}}^{(I)}(g) = \sum_{n=0}^{\infty} g^{n-1} \mathcal{F}_n^{(I)}$$

$I \in \{\text{instantons}\}$

スペクトラル曲線が双対

$$F(x, y) = 0 \quad x \leftrightarrow y$$

Symplectic Invariance

$$F(x, R) = 0$$

X-system

$$\tilde{F}(y, \tilde{R}) = 0$$

Y-system

全次数摂動論 (インスタントンも含む) で完全等価

特に、自由エネルギーの摂動展開係数はすべて一致

$$\mathcal{F}_{\text{pert}}(g) = \sum_{n=0}^{\infty} g^{2n-2} \mathcal{F}_n$$

インスタントンは曲線の変形で与えられて、同様に一致

$$\mathcal{F}_{\text{Inst}}^{(I)}(g) = \sum_{n=0}^{\infty} g^{n-1} \mathcal{F}_n^{(I)}$$

$I \in \{\text{instantons}\}$

世界面の記述 (Liouville理論)

$$S = \frac{1}{4\pi} \int d^2\sigma \sqrt{g} \left[g^{ab} \partial_a \phi \partial_b \phi + Q R \phi + 4\pi \mu e^{2b\phi} \right] +$$
$$+ \frac{1}{4\pi} \int d^2\sigma \sqrt{g} \left[g^{ab} \partial_a X \partial_b X + i\tilde{Q} R X \right] + S_{\text{ghost}}$$

$$Q = b + \frac{1}{b}, \quad \tilde{Q} = b - \frac{1}{b} \quad b = \sqrt{\frac{p}{q}}$$

世界面の記述 (Liouville理論)

$$S = \frac{1}{4\pi} \int d^2\sigma \sqrt{g} \left[g^{ab} \partial_a \phi \partial_b \phi + Q R \phi + 4\pi \mu e^{2b\phi} \right] + \\ + \frac{1}{4\pi} \int d^2\sigma \sqrt{g} \left[g^{ab} \partial_a X \partial_b X + i\tilde{Q} R X \right] + S_{\text{ghost}}$$

$$Q = b + \frac{1}{b}, \quad \tilde{Q} = b - \frac{1}{b} \quad b = \sqrt{\frac{p}{q}}$$

p-q duality: $p \leftrightarrow q \iff b \leftrightarrow \frac{1}{b}$ (\doteq T-duality)

世界面の記述 (Liouville理論)

$$S = \frac{1}{4\pi} \int d^2\sigma \sqrt{g} \left[g^{ab} \partial_a \phi \partial_b \phi + Q R \phi + 4\pi \mu e^{2b\phi} \right] + \\ + \frac{1}{4\pi} \int d^2\sigma \sqrt{g} \left[g^{ab} \partial_a X \partial_b X + i\tilde{Q} R X \right] + S_{\text{ghost}}$$

$$Q = b + \frac{1}{b}, \quad \tilde{Q} = b - \frac{1}{b} \quad b = \sqrt{\frac{p}{q}}$$

p-q duality: $p \leftrightarrow q \iff b \leftrightarrow \frac{1}{b}$ (\doteq T-duality)

3点関数 (DOZZ) の基本原理!

世界面の記述 (Liouville理論)

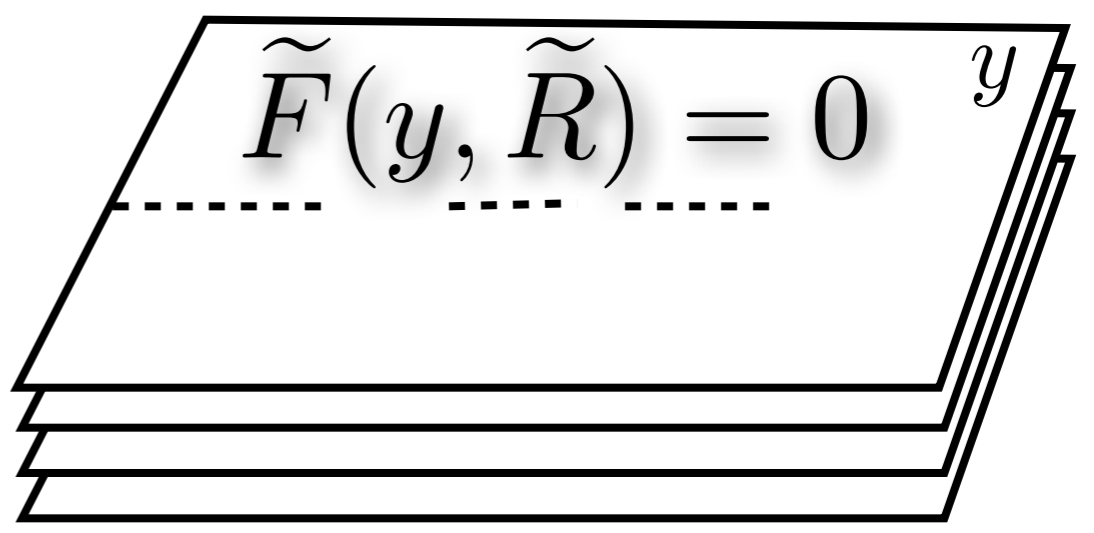
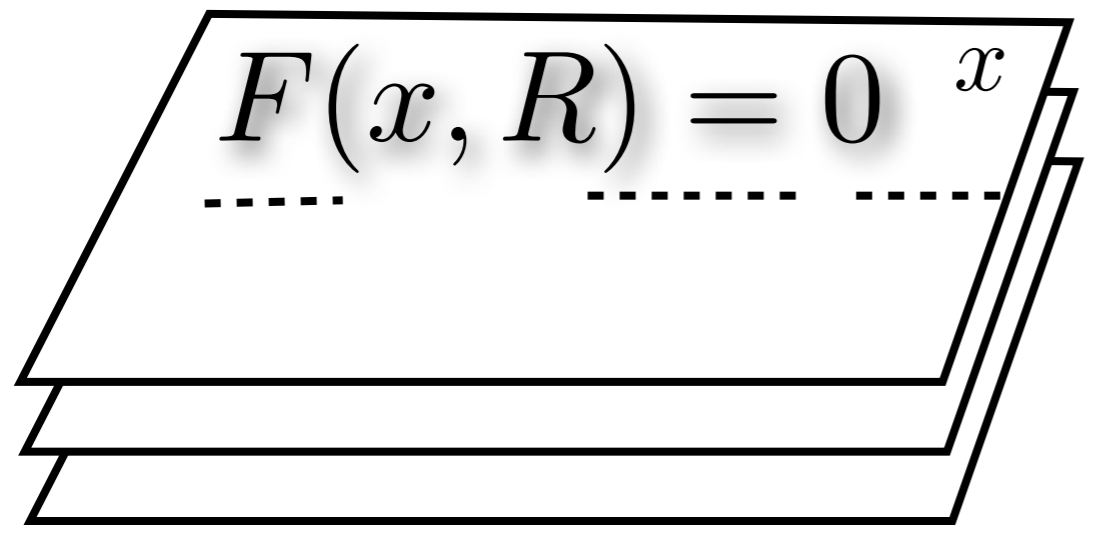
$$S = \frac{1}{4\pi} \int d^2\sigma \sqrt{g} \left[g^{ab} \partial_a \phi \partial_b \phi + Q R \phi + 4\pi \mu e^{2b\phi} \right] +$$

$$+ \frac{1}{4\pi} \int d^2\sigma \sqrt{g} \left[g^{ab} \partial_a X \partial_b X + i\tilde{Q} R X \right] + S_{\text{ghost}}$$

$$Q = b + \frac{1}{b}, \quad \tilde{Q} = b - \frac{1}{b}, \quad b = \sqrt{\frac{p}{q}}$$

p-q duality: $p \leftrightarrow q \iff b \leftrightarrow \frac{1}{b}$ (\doteq T-duality)

3点関数 (DOZZ) の基本原理!



世界面の記述 (Liouville理論)

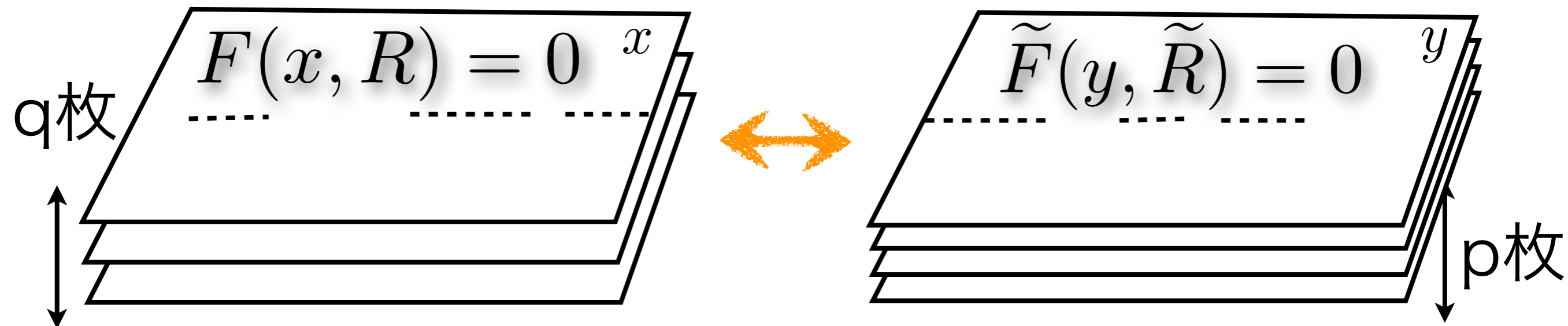
$$S = \frac{1}{4\pi} \int d^2\sigma \sqrt{g} \left[g^{ab} \partial_a \phi \partial_b \phi + Q R \phi + 4\pi \mu e^{2b\phi} \right] +$$

$$+ \frac{1}{4\pi} \int d^2\sigma \sqrt{g} \left[g^{ab} \partial_a X \partial_b X + i\tilde{Q} R X \right] + S_{\text{ghost}}$$

$$Q = b + \frac{1}{b}, \quad \tilde{Q} = b - \frac{1}{b}, \quad b = \sqrt{\frac{p}{q}}$$

p-q duality: $p \leftrightarrow q \iff b \leftrightarrow \frac{1}{b}$ (\doteq T-duality)

3点関数 (DOZZ) の基本原理!

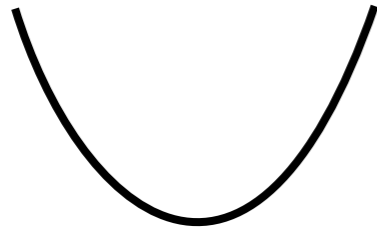


p-q duality and T-duality: 関連論文

- [Fukuma-Kawai-Nakayama '92]
 $[P, Q] = 1 \iff [Q, -P] = 1$
- [Kharchev-Marshakov '92]
from $(p, 1)$ to (p, q)
- [Asatani-Kuroki-Okawa-Sugino-Yoneya '96]
Kramers-Wannier duality in Random Surfaces
- [Kuroki-Sugino '07]
D-instanton chemical potentials

非摂動論 (completion)

非摂動論 (completion)



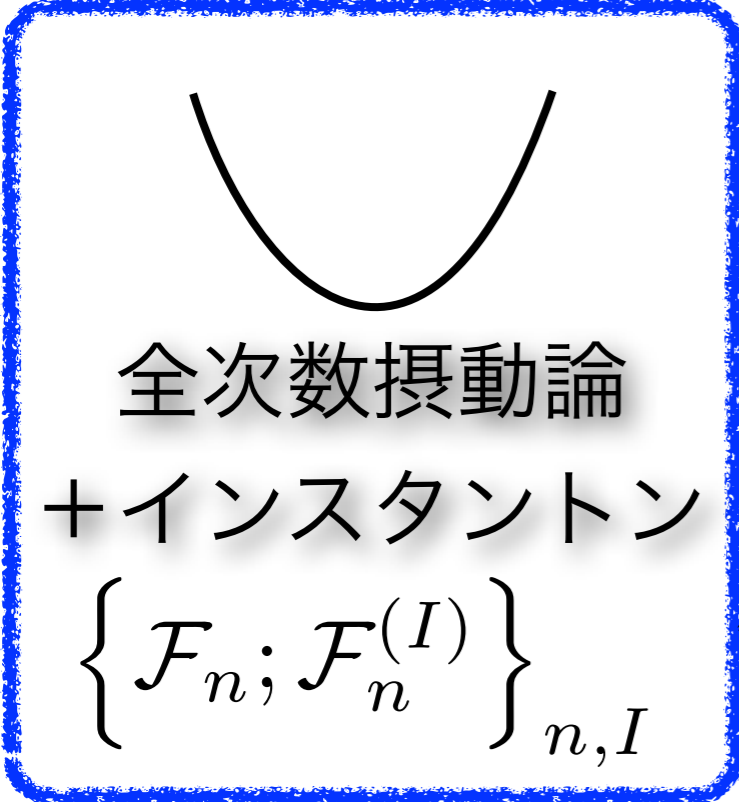
全次数摂動論

+ インスタントン

$$\left\{ \mathcal{F}_n; \mathcal{F}_n^{(I)} \right\}_{n,I}$$

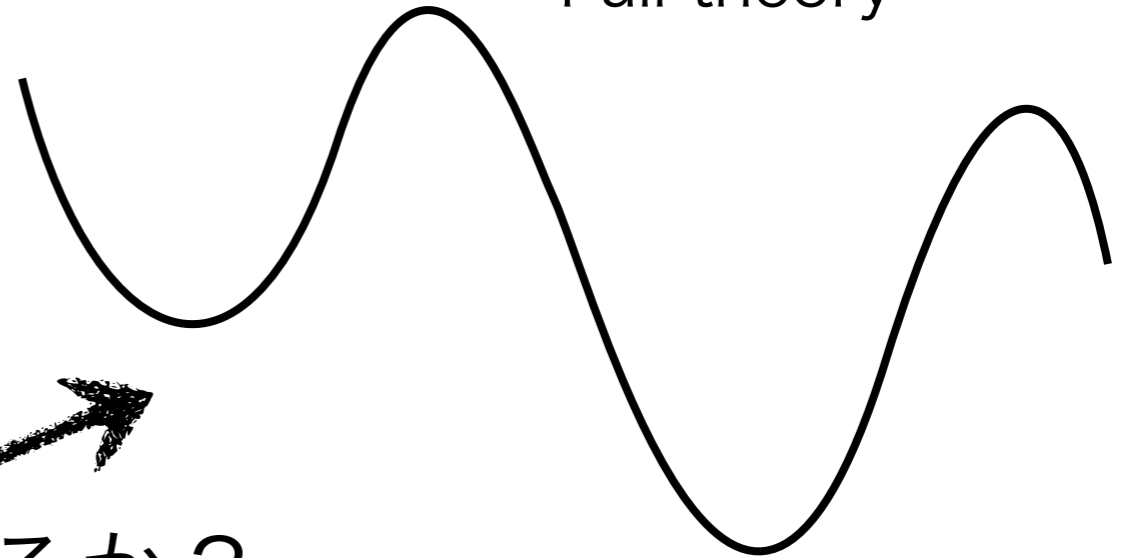
非摂動論 (completion)

Full theory



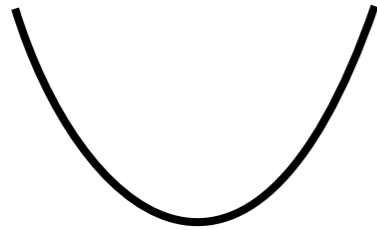
全次数摂動論
+ インスタントン
 $\left\{ \mathcal{F}_n; \mathcal{F}_n^{(I)} \right\}_{n,I}$

再構成できるか？



非摂動論 (completion)

鞍点方程式の解



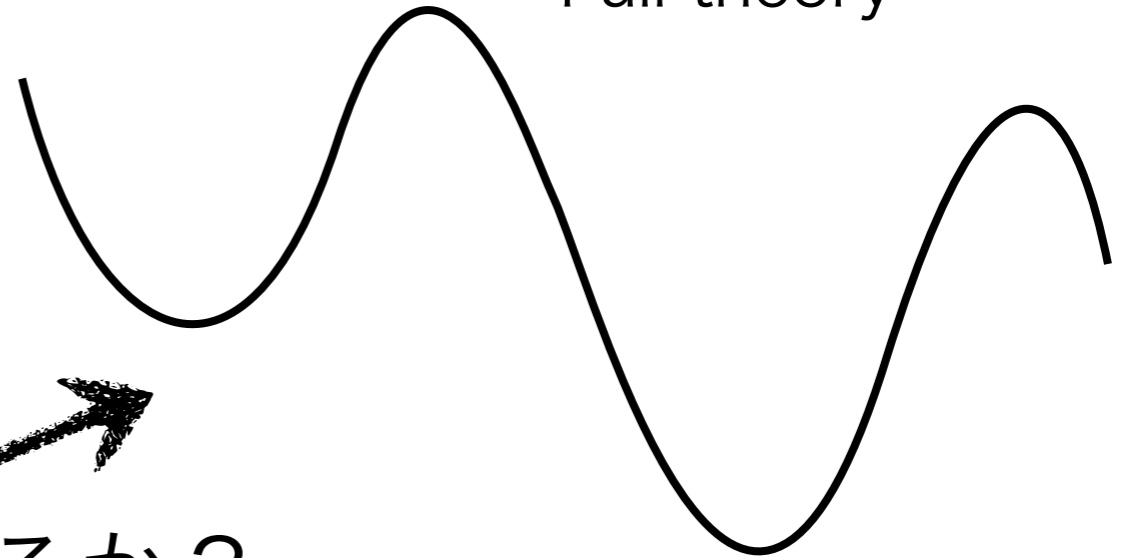
全次数摂動論

+ インスタントン

$$\left\{ \mathcal{F}_n; \mathcal{F}_n^{(I)} \right\}_{n,I}$$

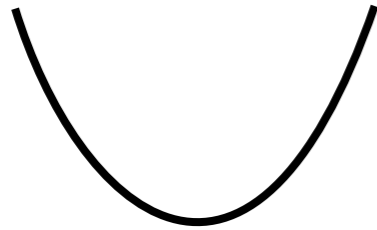
再構成できるか？

Full theory



非摂動論 (completion)

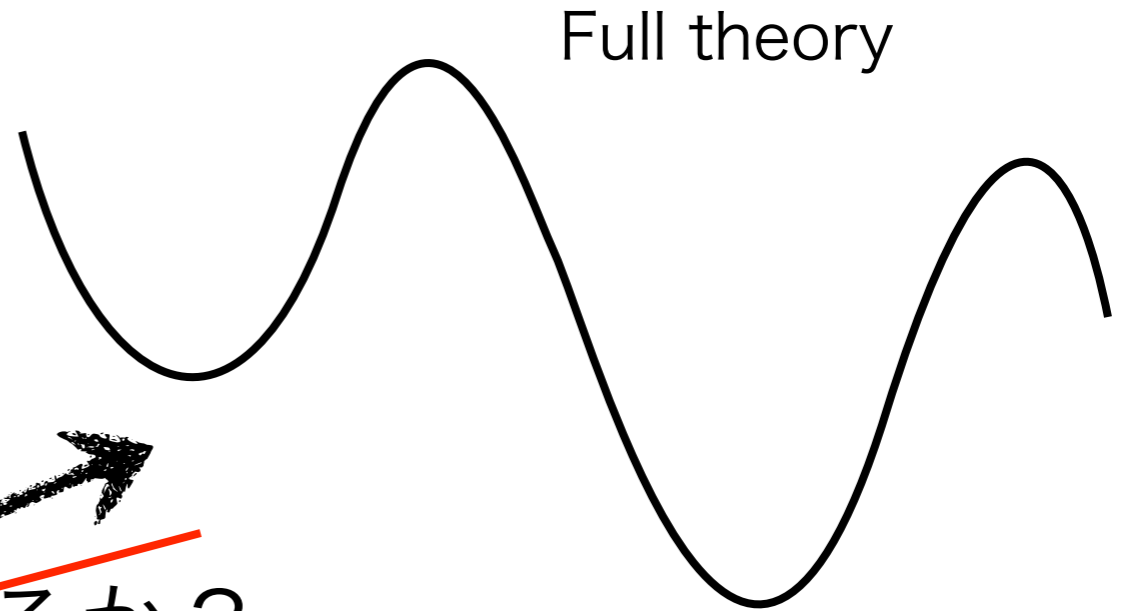
鞍点方程式の解



全次数摂動論

+ インスタントン

$$\left\{ \mathcal{F}_n; \mathcal{F}_n^{(I)} \right\}_{n,I}$$



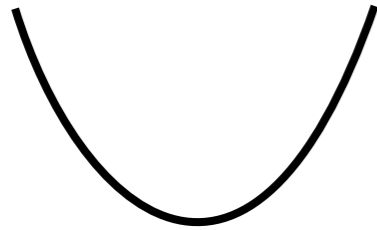
Full theory

~~再構成できるか？~~

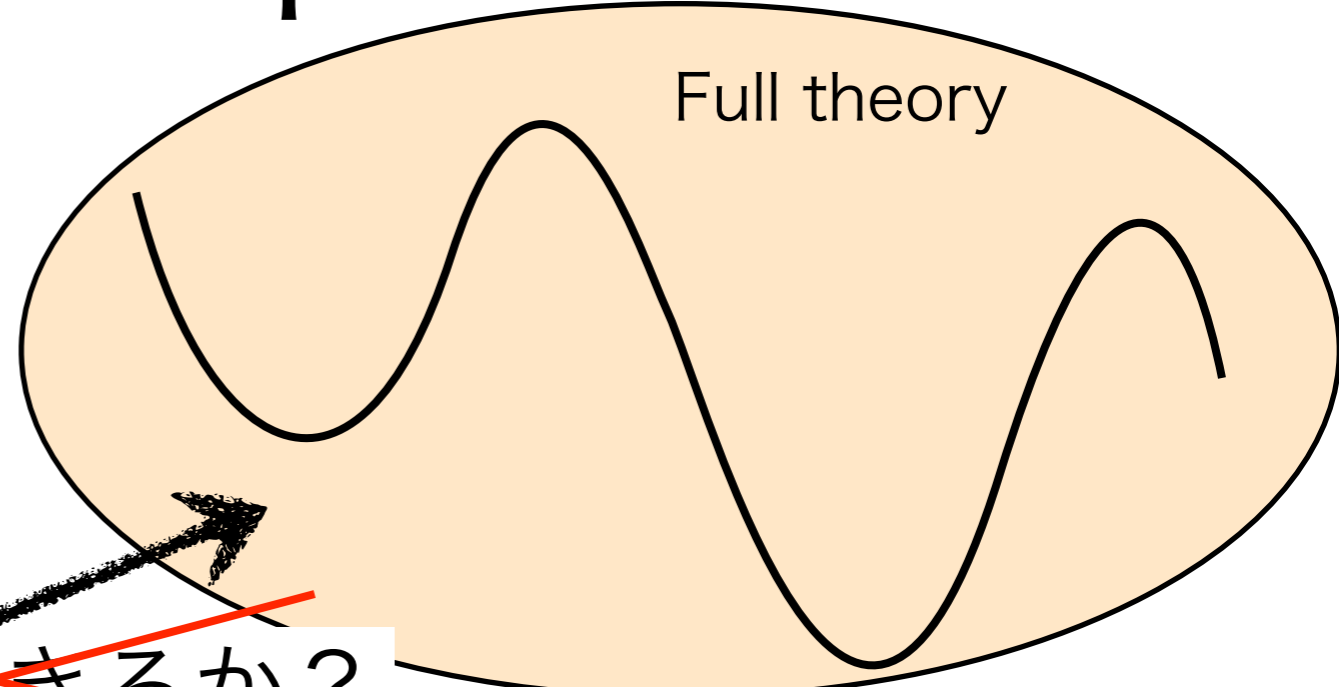
→ 情報が足りない！

非摂動論 (completion)

鞍点方程式の解



全次数摂動論
+ インスタントン
 $\left\{ \mathcal{F}_n; \mathcal{F}_n^{(I)} \right\}_{n,I}$



~~再構成できるか？~~

→ 情報が足りない！

再構成できるためには

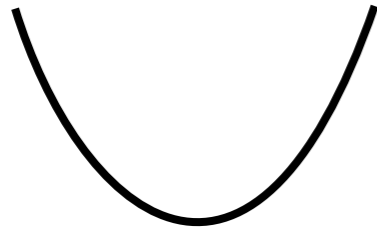
$$\mathcal{F} \simeq \sum_{n=0}^{\infty} g^{2n-2} \mathcal{F}_n + \sum_{I \in \tilde{\mathcal{J}}_{\text{relev}}} \theta_I \times g^{1/2} \exp \left[\frac{1}{g} \sum_{n=0}^{\infty} \mathcal{F}_n^{(I)} \right]$$

V.S.

• 鞍点の選別 (全鞍点が現れる訳ではない)

非摂動論 (completion)

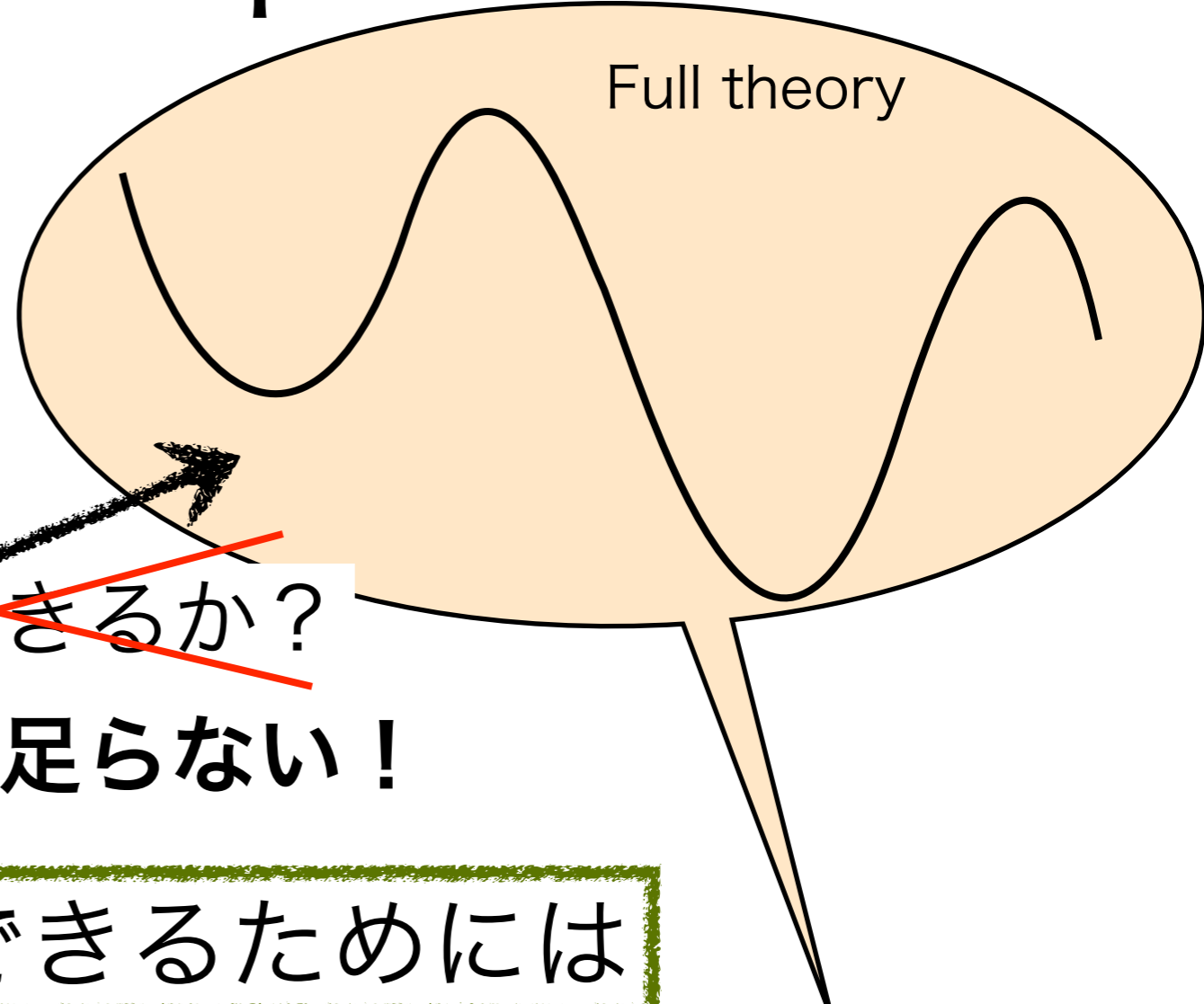
鞍点方程式の解



全次数摂動論

+ インスタントン

$$\left\{ \mathcal{F}_n; \mathcal{F}_n^{(I)} \right\}_{n,I}$$



~~再構成できるか?~~

→ **情報が足りない!**

再構成できるためには

$$\mathcal{F} \simeq \sum_{n=0}^{\infty} g^{2n-2} \mathcal{F}_n + \sum_{I \in \tilde{\mathcal{J}}_{\text{relev}}} \theta_I \times g^{1/2} \exp \left[\frac{1}{g} \sum_{n=0}^{\infty} \mathcal{F}_n^{(I)} \right]$$

V.S.

- 鞍点の選別 (全鞍点が現れる訳ではない)
- ポテンシャルの情報 (ストークス現象)

非摂動論 (completion)

$$\mathcal{Z} = \int dX dY e^{-N \text{tr}[V_1(X) + V_2(Y) - XY]}$$

“Yを先に積分”

“Xを先に積分”

X-system

Y-system

spectral (p-q) dual

非摂動論 (completion)

$$\mathcal{Z} = \int dX dY e^{-N \text{tr}[V_1(X) + V_2(Y) - XY]}$$

“Yを先に積分”

“Xを先に積分”

X-system

Y-system

spectral (p-q) dual

ここでは簡単のため、 $V_2(Y)$ をgaussianにする

非摂動論 (completion)

$$\mathcal{Z} = \int dX dY e^{-N \text{tr}[V_1(X) + \frac{Y^2}{2} - XY]}$$

“Yを先に積分”

“Xを先に積分”

X-system

Y-system



非摂動論 (completion)

$$\mathcal{Z} = \int dX dY e^{-N \text{tr}[V_1(X) + \frac{Y^2}{2} - XY]}$$

gaussian

“Yを先に積分”

“Xを先に積分”

X-system

Y-system



非摂動論 (completion)

$$\mathcal{Z} = \int dX dY e^{-N \text{tr}[V_1(X) + \frac{Y^2}{2} - XY]}$$

gaussian

実行できる！

“Yを先に積分”

“Xを先に積分”

X-system

Y-system



非摂動論 (completion)

$$\mathcal{Z} = \int dX dY e^{-N \text{tr} [V_1(X) + \frac{Y^2}{2} - XY]}$$

gaussian

実行できる！

“Yを先に積分”

“Xを先に積分”

X-system

Y-system

$$\mathcal{Z} = \int dX e^{-N \text{tr} V(X)}$$

one-matrix model

非摂動論 (completion)

$$\mathcal{Z} = \int dX dY e^{-N \text{tr}[V_1(X) + \frac{Y^2}{2} - XY]}$$

gaussian

実行できる！

“Yを先に積分”

“Xを先に積分”

X-system

Y-system

$$\mathcal{Z} = \int dX e^{-N \text{tr} V(X)}$$

one-matrix model
(よく分かっている)

非摂動論 in one-matrix

$$\mathcal{Z} = \int dX e^{-N \text{tr} V(X)}$$

非摂動論 in one-matrix

$$Z = \int dX e^{-N \text{tr} V(X)}$$

ポテンシャルの情報 (平均場近似[David '91])

非摂動論 in one-matrix

$$\mathcal{Z} = \int dX e^{-N \text{tr} V(X)}$$

ポテンシャルの情報 (平均場近似 [David '91])

$$\mathcal{Z} \simeq \int dx e^{-NV_{\text{eff}}(x)} = \int dx \langle \det(x - X)^2 \rangle e^{-NV(x)}$$

1 体固有値の有効理論

非摂動論 in one-matrix

$$\mathcal{Z} = \int dX e^{-N \text{tr} V(X)}$$

ポテンシャルの情報 (平均場近似 [David '91])

$$\mathcal{Z} \simeq \int dx e^{-NV_{\text{eff}}(x)} = \int dx \langle \det(x - X)^2 \rangle e^{-NV(x)}$$

1 体固有値の有効理論

非摂動論 in one-matrix

$$\mathcal{Z} = \int dX e^{-N \text{tr} V(X)}$$

ポテンシャルの情報 (平均場近似 [David '91])

$$\mathcal{Z} \simeq \int dx e^{-NV_{\text{eff}}(x)} = \int dx \langle \det(x - X)^2 \rangle e^{-NV(x)}$$

1 体固有値の有効理論

$\langle \det(x - X)^2 \rangle$ は、ラーゼン N でレゾルベントとなる:

$$2N \int dx R(x)$$

$$\langle \det(x - X)^2 \rangle = \left\langle e^{2 \text{tr} \ln(x - X)} \right\rangle \simeq e^{2N \int^x dx' \left\langle \frac{1}{N} \frac{1}{x' - X} \right\rangle}$$

非摂動論 in one-matrix

$$\mathcal{Z} = \int dX e^{-N \text{tr} V(X)}$$

ポテンシャルの情報 (平均場近似 [David '91])

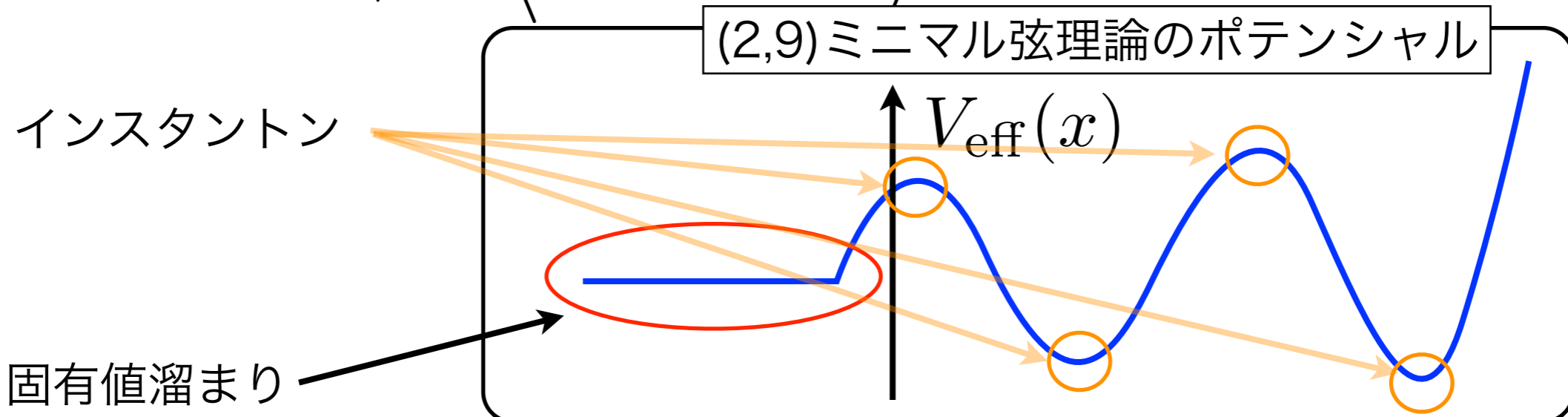
$$\mathcal{Z} \simeq \int dx e^{-NV_{\text{eff}}(x)} = \int dx \langle \det(x - X)^2 \rangle e^{-NV(x)}$$

1 体固有値の有効理論

は、ラーゼン N でレゾルベントとなる:

$$2N \int dx R(x)$$

$$\langle \det(x - X)^2 \rangle = \langle e^{2 \text{tr} \ln(x - X)} \rangle \simeq e^{2N \int^x dx' \langle \frac{1}{N} \frac{1}{x' - X} \rangle}$$



非摂動論 in one-matrix

鞍点 (インスタントン) の選別

非摂動論 in one-matrix

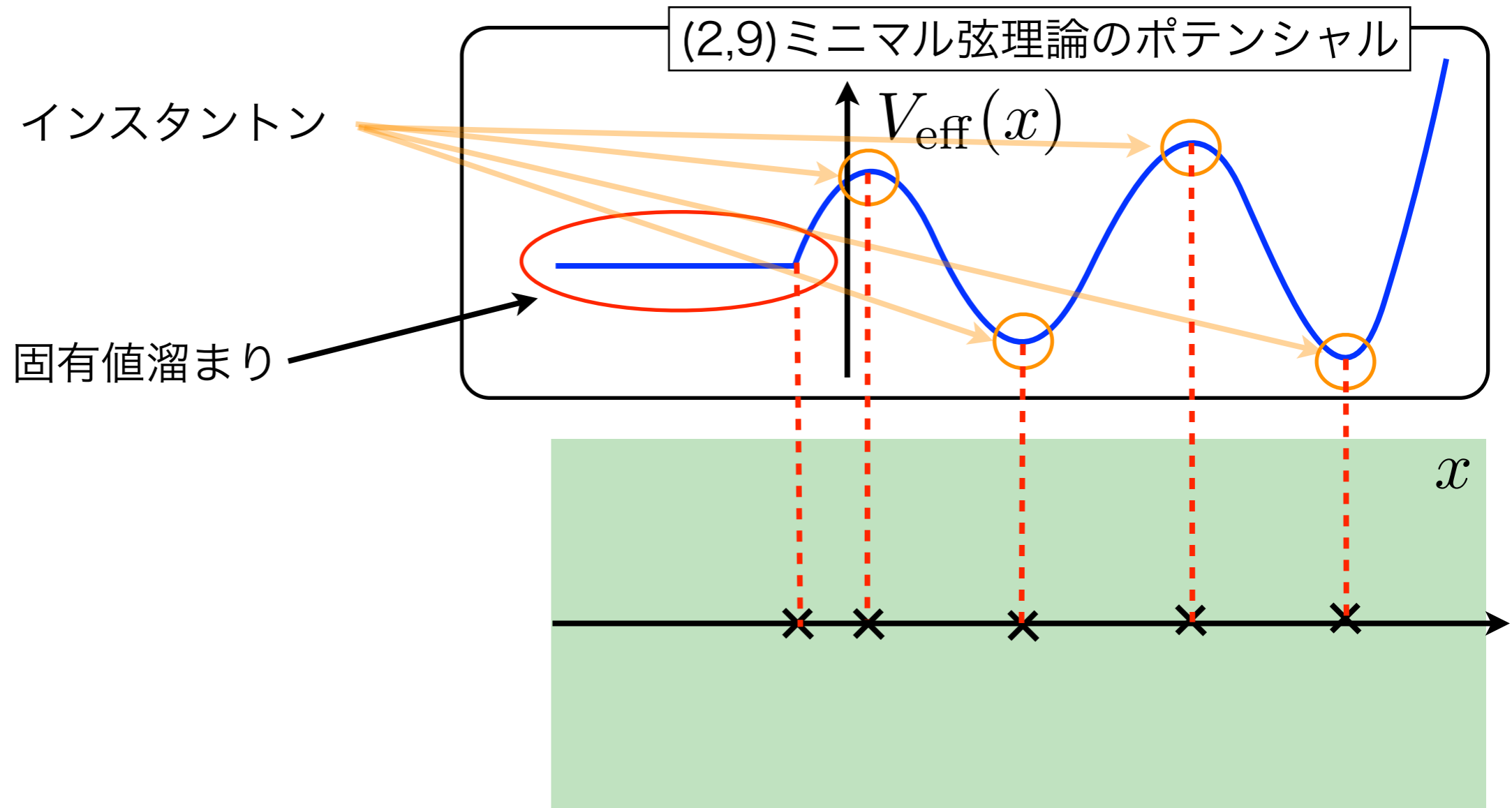
鞍点 (インスタントン) の選別

理論は、行列模型の積分路 (contour) を決めて定める

非摂動論 in one-matrix

鞍点 (インスタントン) の選別

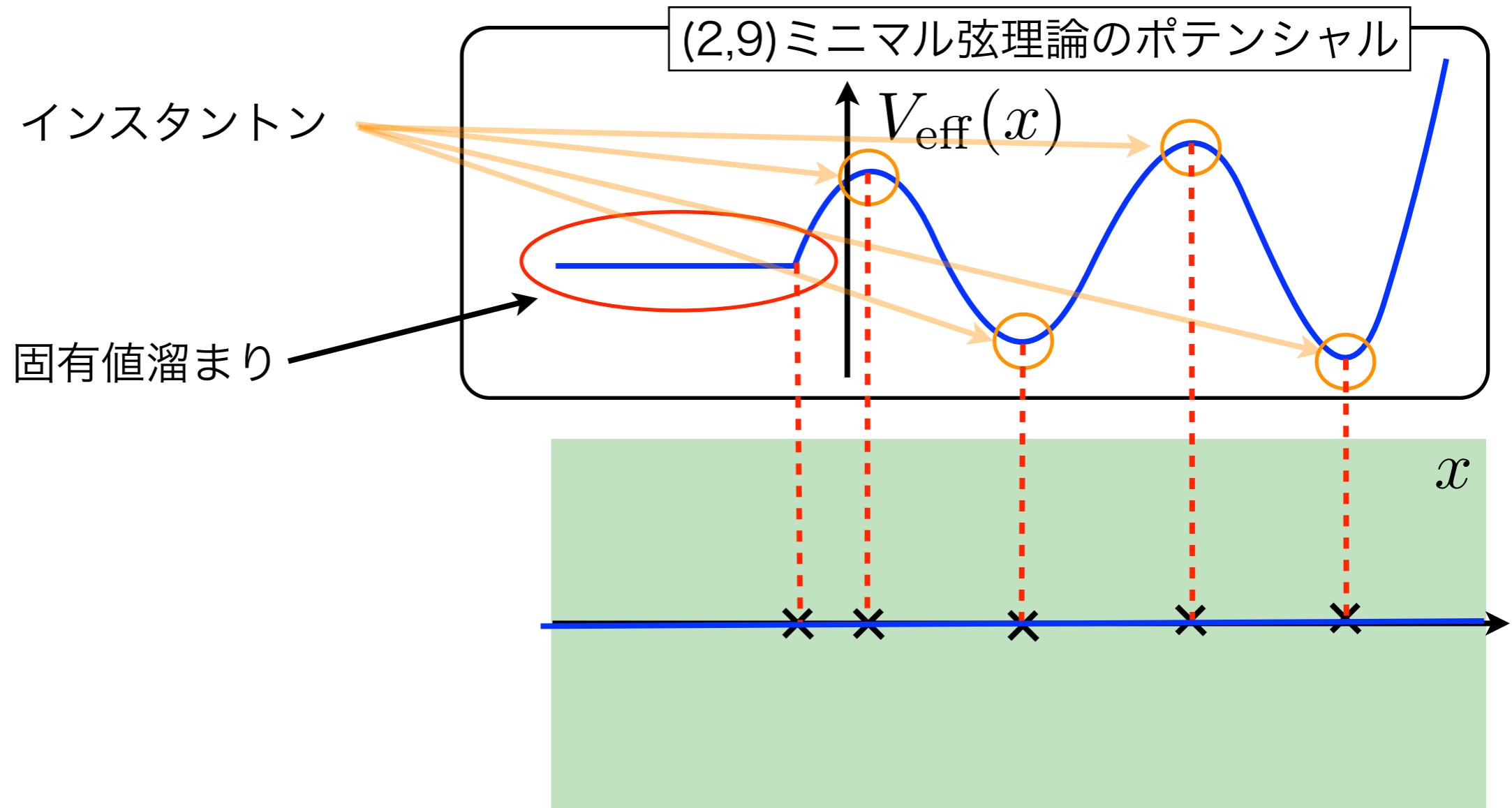
理論は、行列模型の積分路 (contour) を決めて定める



非摂動論 in one-matrix

鞍点 (インスタントン) の選別

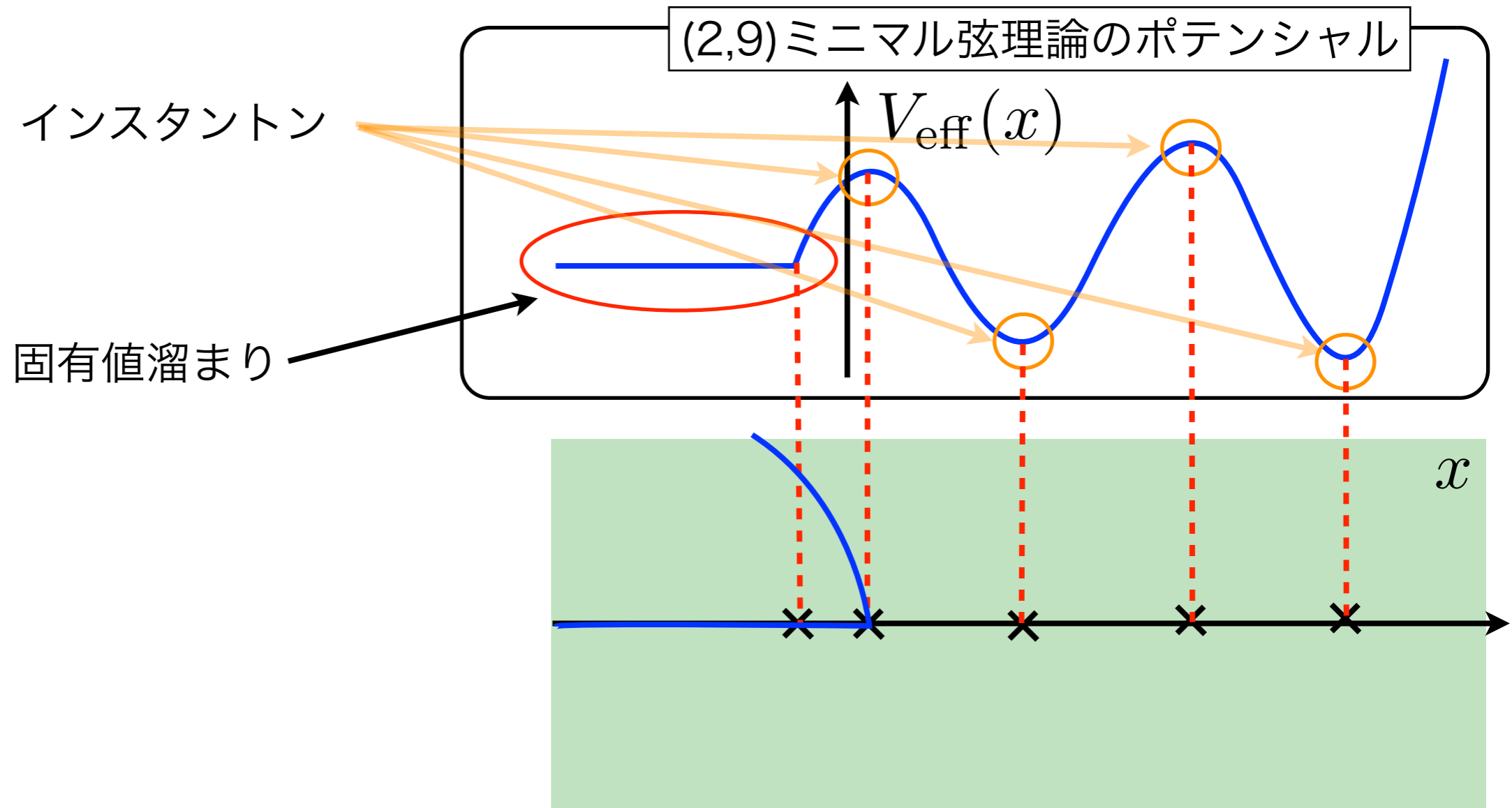
理論は、行列模型の積分路 (contour) を決めて定める



非摂動論 in one-matrix

鞍点 (インスタントン) の選別

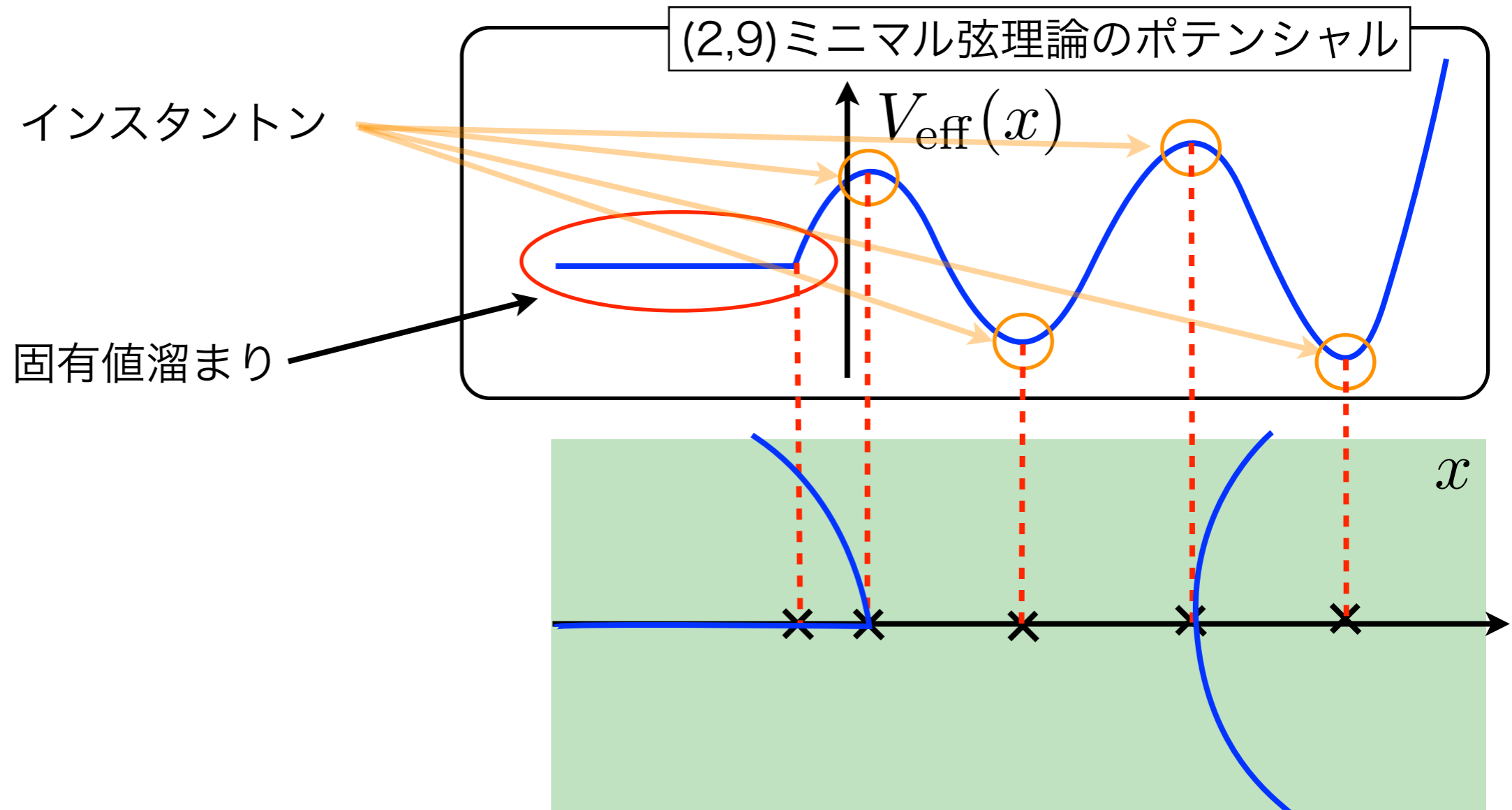
理論は、行列模型の積分路 (contour) を決めて定める



非摂動論 in one-matrix

鞍点 (インスタントン) の選別

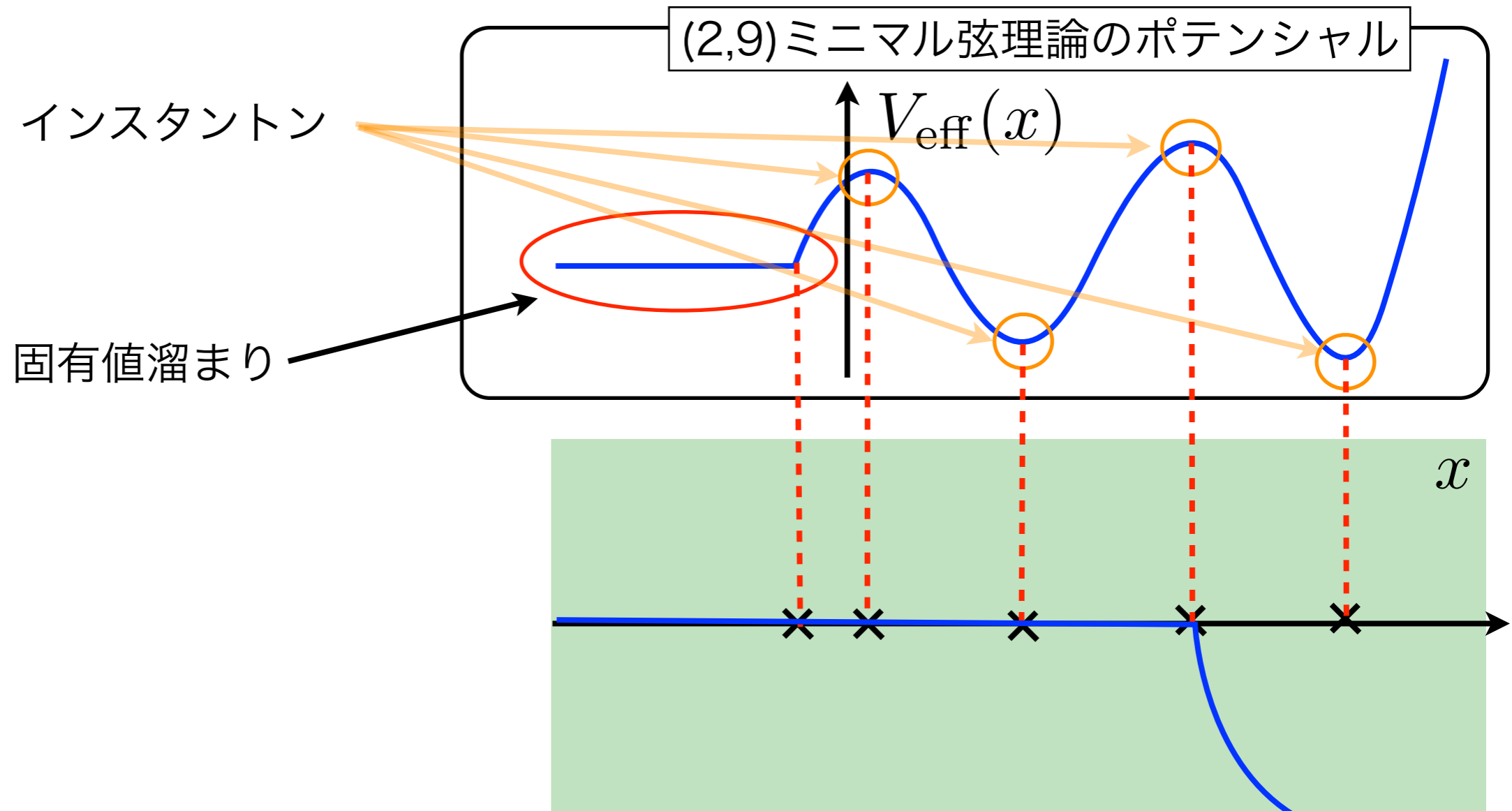
理論は、行列模型の積分路 (contour) を決めて定める



非摂動論 in one-matrix

鞍点 (インスタントン) の選別

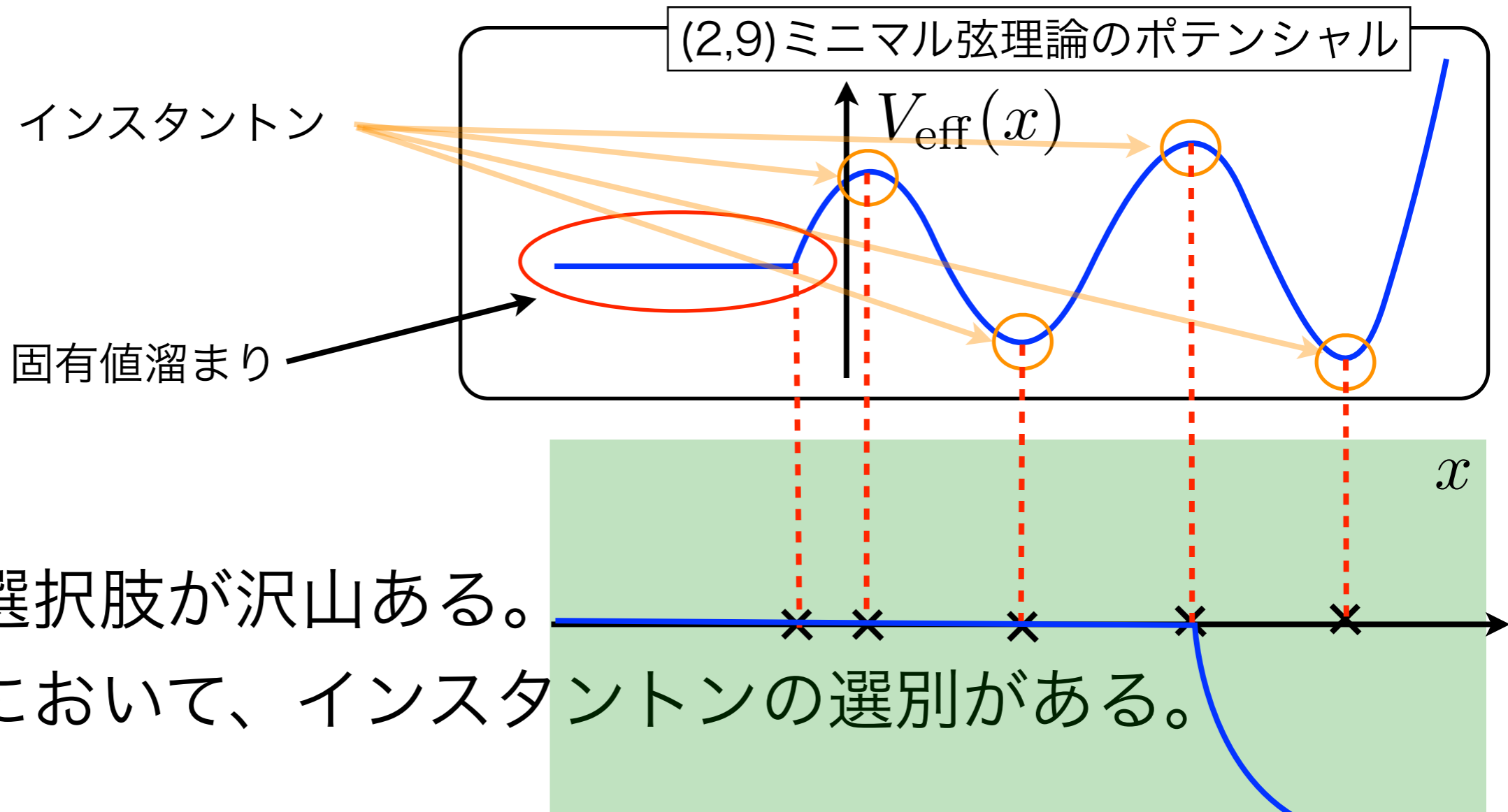
理論は、行列模型の積分路 (contour) を決めて定める



非摂動論 in one-matrix

鞍点 (インスタントン) の選別

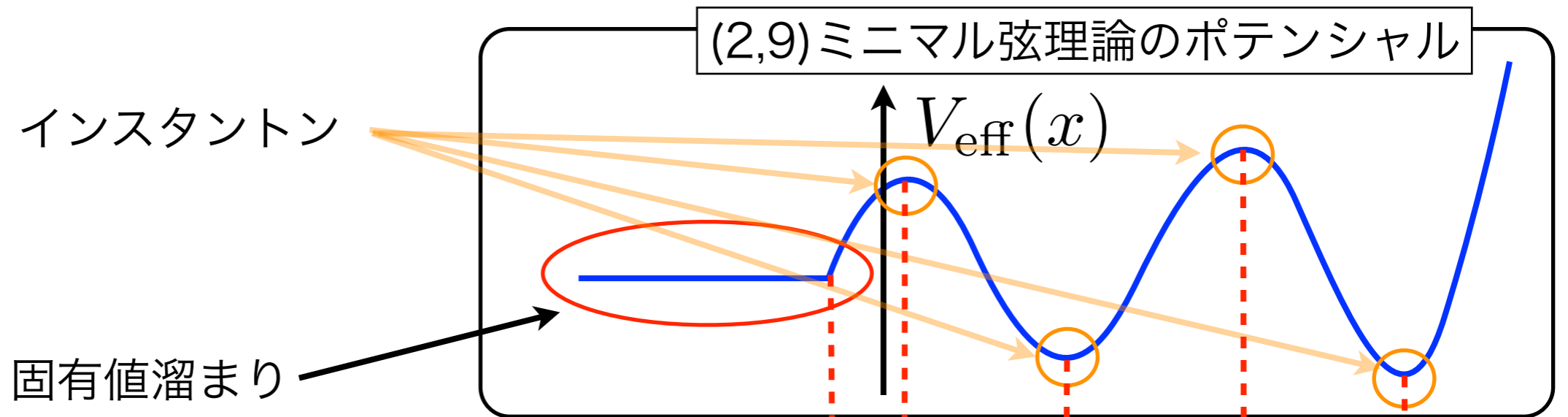
理論は、行列模型の積分路 (contour) を決めて定める



非摂動論 in one-matrix

鞍点 (インスタントン) の選別

理論は、行列模型の積分路 (contour) を決めて定める



積分路の選択肢が沢山ある。

それぞれにおいて、インスタントンの選別がある。

摂動的弦理論をもとにして、非摂動的理論を構成すると (Non-perturbative) contour ambiguity が生じる

次の2つの系は同じか？

$$\mathcal{Z} = \int dX dY e^{-N \text{tr} [V_1(X) + \frac{Y^2}{2} - XY]}$$

gaussian

“Yを先に積分”

“Xを先に積分”

X-system

Y-system

$$\mathcal{Z} = \int dX e^{-N \text{tr} V(X)}$$

one-matrix model

次の2つの系は同じか？

$$\mathcal{Z} = \int dX dY e^{-N \text{tr} [V_1(X) + \frac{Y^2}{2} - XY]}$$

gaussian

“Yを先に積分”

“Xを先に積分”

X-system

Y-system

$$\mathcal{Z} = \int dX e^{-N \text{tr} V(X)}$$

one-matrix model

今度はこっち

非摂動論 in Y-system

ポテンシャルの構築 (平均場近似[Kazakov-Kostov'04])

非摂動論 in Y-system

ポテンシャルの構築 (平均場近似[Kazakov-Kostov'04])

$$\begin{aligned} \mathcal{Z} &= \int dX dY e^{-N \text{tr}[V_1(X) + \frac{Y^2}{2} - XY]} \\ &\simeq \int dx dy \langle \det(x - X) \det(y - Y) \rangle e^{-N[V_1(x) + V_2(y) - xy]} \end{aligned}$$

非摂動論 in Y-system

ポテンシャルの構築 (平均場近似[Kazakov-Kostov'04])

$$\begin{aligned} \mathcal{Z} &= \int dX dY e^{-N \text{tr}[V_1(X) + \frac{Y^2}{2} - XY]} \\ &\simeq \int dx dy \langle \det(x - X) \det(y - Y) \rangle e^{-N[V_1(x) + V_2(y) - xy]} \end{aligned}$$

これをラーゼンNで評価して、

$$\square \simeq e^{-N[\Phi_1(x) + \Phi_2(y) - xy]}$$

非摂動論 in Y-system

ポテンシャルの構築 (平均場近似[Kazakov-Kostov'04])

$$\begin{aligned} Z &= \int dX dY e^{-N \text{tr}[V_1(X) + \frac{Y^2}{2} - XY]} \\ &\simeq \int dx dy \langle \det(x - X) \det(y - Y) \rangle e^{-N[V_1(x) + V_2(y) - xy]} \end{aligned}$$

これをラーゼンNで評価して、

$$\langle \det(x - X) \det(y - Y) \rangle \simeq e^{-N[\Phi_1(x) + \Phi_2(y) - xy]}$$

xに関して積分する

非摂動論 in Y-system

ポテンシャルの構築 (平均場近似[Kazakov-Kostov'04])

$$\begin{aligned} Z &= \int dX dY e^{-N \text{tr}[V_1(X) + \frac{Y^2}{2} - XY]} \\ &\simeq \int dx dy \langle \det(x - X) \det(y - Y) \rangle e^{-N[V_1(x) + V_2(y) - xy]} \end{aligned}$$

これをラーゼンNで評価して、

$$\square \simeq e^{-N[\Phi_1(x) + \Phi_2(y) - xy]}$$

xに関して積分する

$$\int dx e^{-N[\Phi_1(x) - xy]} \quad : \text{Airy 関数もどき}$$

非摂動論 in Y-system

ポテンシャルの構築 (平均場近似[Kazakov-Kostov'04])

$$\begin{aligned} Z &= \int dX dY e^{-N \text{tr}[V_1(X) + \frac{Y^2}{2} - XY]} \\ &\simeq \int dx dy \langle \det(x - X) \det(y - Y) \rangle e^{-N[V_1(x) + V_2(y) - xy]} \end{aligned}$$

これをラーゼンNで評価して、

$$\langle \det(x - X) \det(y - Y) \rangle \simeq e^{-N[\Phi_1(x) + \Phi_2(y) - xy]}$$

xに関して積分する

$$\int dx e^{-N[\Phi_1(x) - xy]} \quad : \text{Airy 関数もどき}$$

- 摂動論の範囲内なら、鞍点方程式を解いて代入
(\rightarrow 各鞍点の独立寄与のみが計算できる)

非摂動論 in Y-system

ポテンシャルの構築 (平均場近似[Kazakov-Kostov'04])

$$\begin{aligned} \mathcal{Z} &= \int dX dY e^{-N \text{tr}[V_1(X) + \frac{Y^2}{2} - XY]} \\ &\simeq \int dx dy \langle \det(x - X) \det(y - Y) \rangle e^{-N[V_1(x) + V_2(y) - xy]} \end{aligned}$$

これをラーゼンNで評価して、

$$\langle \det(x - X) \det(y - Y) \rangle \simeq e^{-N[\Phi_1(x) + \Phi_2(y) - xy]}$$

xに関して積分する

$$\int dx e^{-N[\Phi_1(x) - xy]} \quad : \text{Airy 関数もどき}$$

- 摂動論の範囲内なら、鞍点方程式を解いて代入
(\rightarrow 各鞍点の独立寄与のみが計算できる)

- **非摂動論をならば、ストークス現象の計算が必要 [CIY5]**

ポテンシャルのストークス現象 (結果)

[CIY5]

ポテンシャルのストークス現象 (結果)

[CIY5]

一般に :

$$e^{-N\tilde{V}_{\text{eff}}(y)} = \sum_{j,l} (*)_{j,l} \times e^{\varphi^{(j,l)}(y)}$$

$$\left(\begin{array}{l} \varphi^{(j,l)}(y) = \int dy [R^{(j)}(y) - R^{(l)}(y)] \\ R^{(j)}(y) = R(e^{-2\pi i(j-1)}y) \quad F(R^{(j)}(y), y) = 0 \end{array} \right)$$

ポテンシャルのストークス現象 (結果)

[CIY5]

一般に :

$$e^{-N\tilde{V}_{\text{eff}}(y)} = \sum_{j,l} (*)_{j,l} \times e^{\varphi^{(j,l)}(y)}$$

ストークス係数
(y に応じて値が飛ぶ)

$$\left(\begin{array}{l} \varphi^{(j,l)}(y) = \int dy [R^{(j)}(y) - R^{(l)}(y)] \\ R^{(j)}(y) = R(e^{-2\pi i(j-1)}y) \quad F(R^{(j)}(y), y) = 0 \end{array} \right)$$

ポテンシャルのストークス現象 (結果)

[CIY5]

一般に :

$$e^{-N\tilde{V}_{\text{eff}}(y)} = \sum_{j,l} (*)_{j,l} \times e^{\varphi^{(j,l)}(y)}$$

ストークス係数
(y に応じて値が飛ぶ)

$$\left(\begin{array}{l} \varphi^{(j,l)}(y) = \int dy [R^{(j)}(y) - R^{(l)}(y)] \\ R^{(j)}(y) = R(e^{-2\pi i(j-1)}y) \quad F(R^{(j)}(y), y) = 0 \end{array} \right)$$

(5.2) \leftrightarrow (2.5) 模型

ポテンシャルのストークス現象 (結果)

[CIY5]

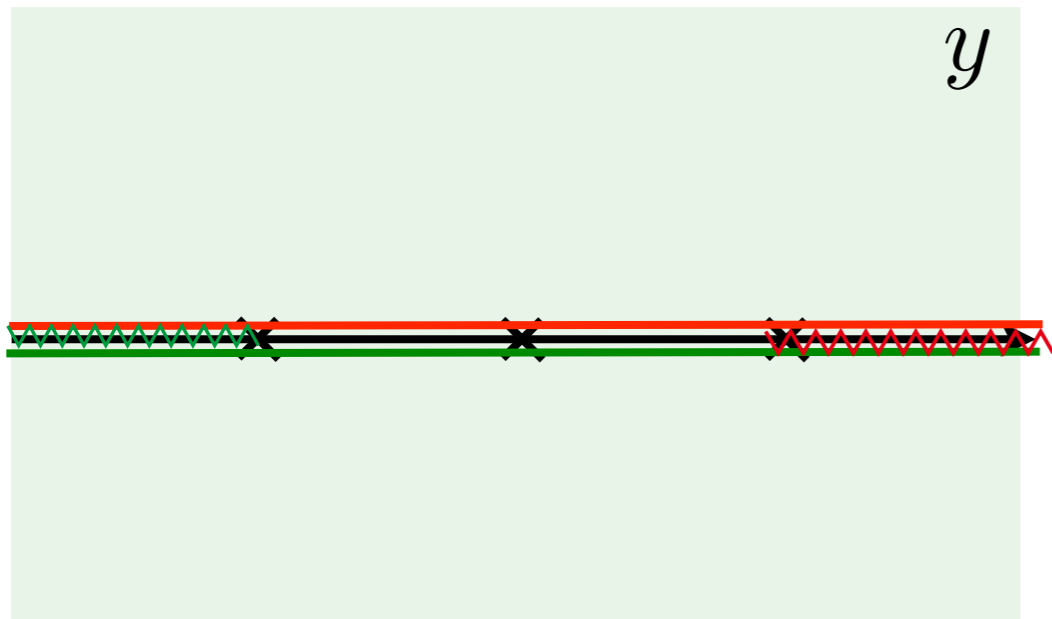
一般に :

$$e^{-N\tilde{V}_{\text{eff}}(y)} = \sum_{j,l} (*_{j,l} \times e^{\varphi^{(j,l)}(y)}$$

ストークス係数
(y に応じて値が飛ぶ)

$$\left(\begin{array}{l} \varphi^{(j,l)}(y) = \int dy [R^{(j)}(y) - R^{(l)}(y)] \\ R^{(j)}(y) = R(e^{-2\pi i(j-1)}y) \quad F(R^{(j)}(y), y) = 0 \end{array} \right)$$

(5.2) \leftrightarrow (2.5) 模型



ポテンシャルのストークス現象 (結果)

[CIY5]

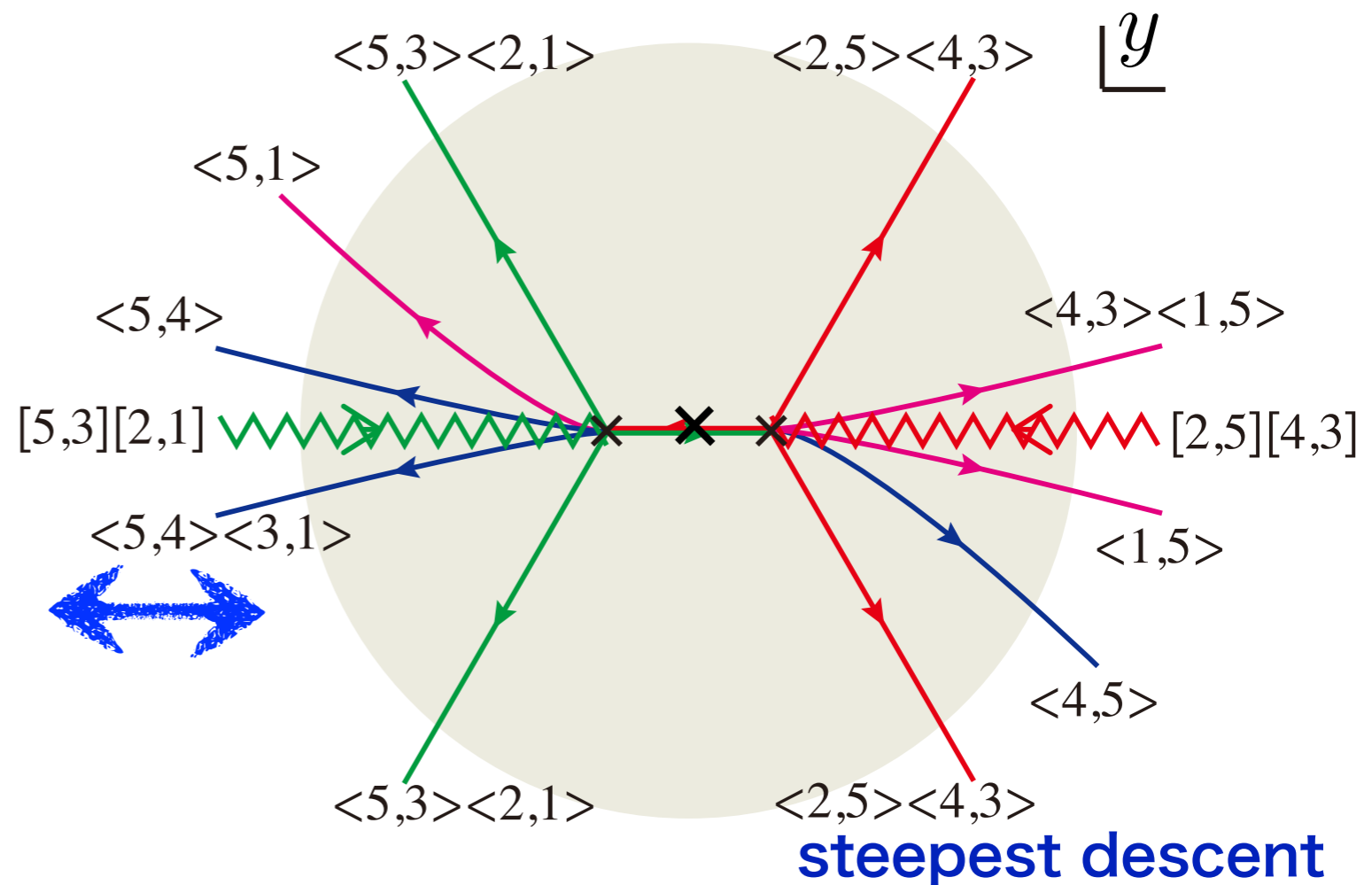
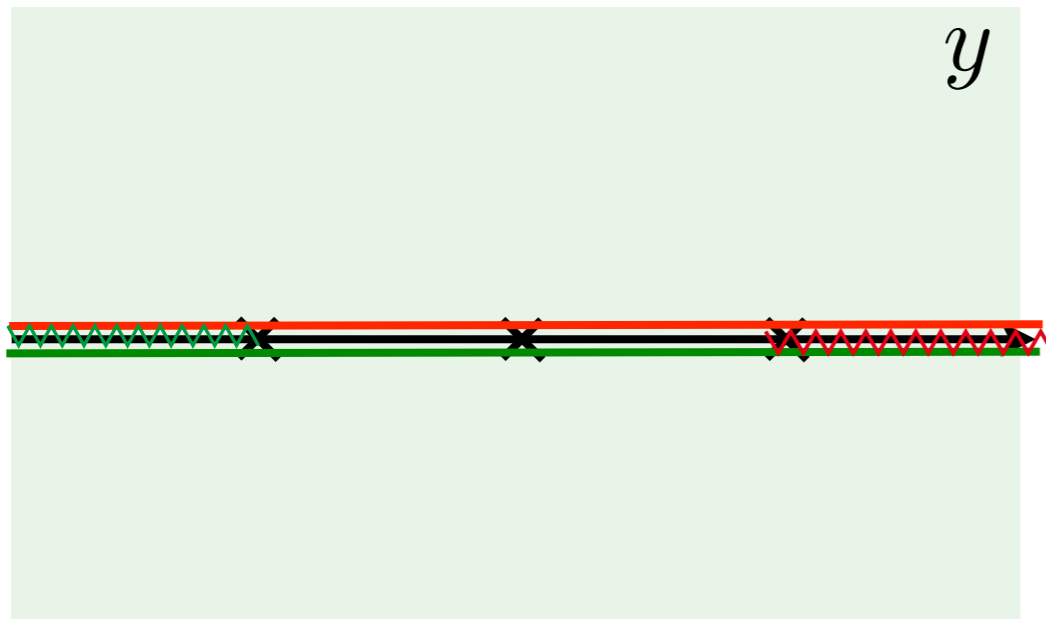
一般に :

$$e^{-N\tilde{V}_{\text{eff}}(y)} = \sum_{j,l} (*_{j,l} \times e^{\varphi^{(j,l)}(y)}$$

ストークス係数
(y に応じて値が飛ぶ)

$$\left(\begin{aligned} \varphi^{(j,l)}(y) &= \int dy [R^{(j)}(y) - R^{(l)}(y)] \\ R^{(j)}(y) &= R(e^{-2\pi i(j-1)}y) \quad F(R^{(j)}(y), y) = 0 \end{aligned} \right)$$

(5,2) ↔ (2,5) 模型



ポテンシャルのストークス現象 (結果)

[CIY5]

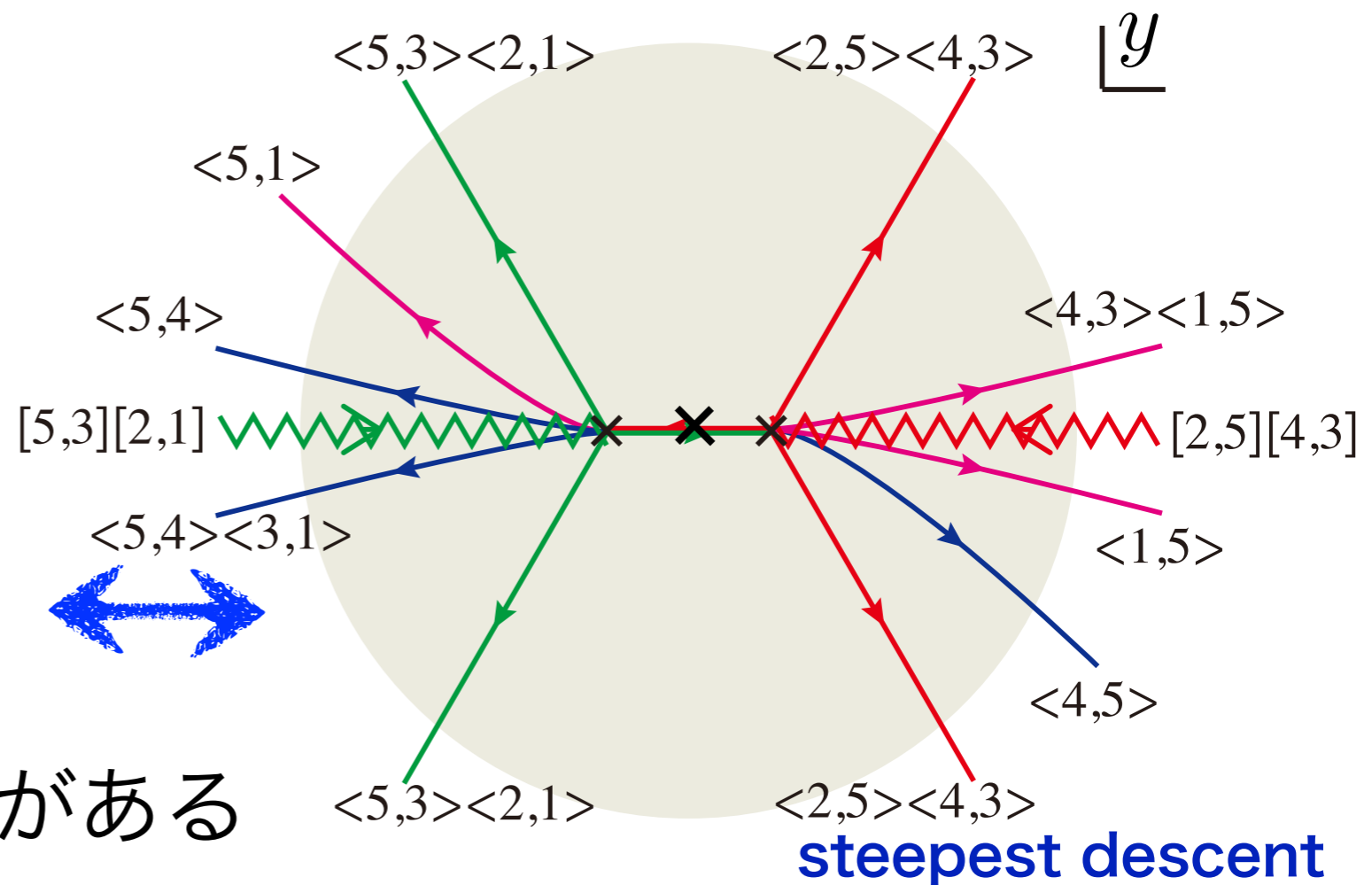
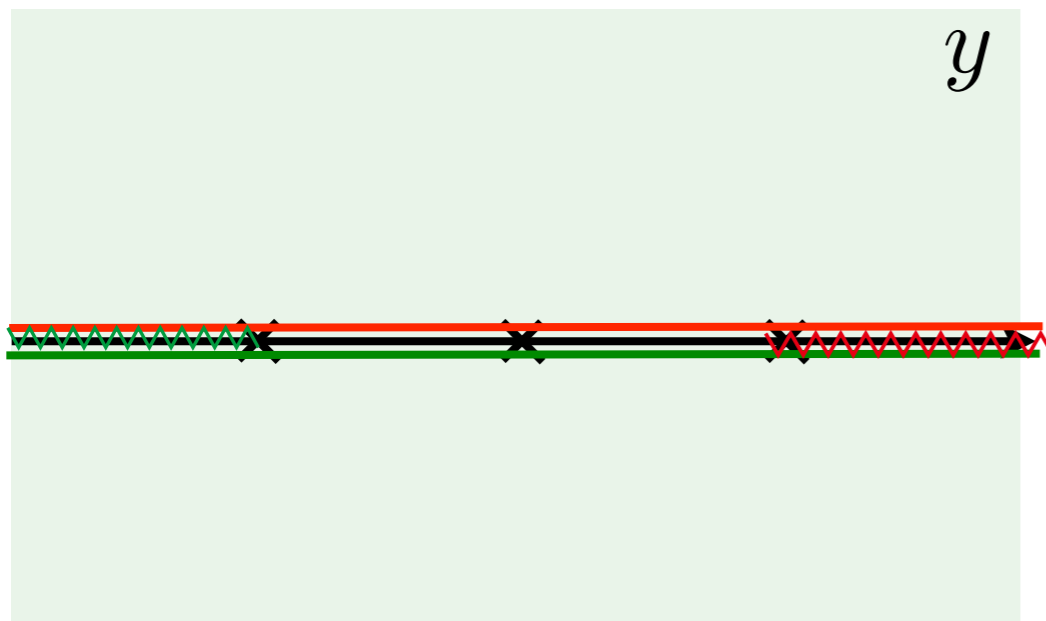
一般に：

$$e^{-N\tilde{V}_{\text{eff}}(y)} = \sum_{j,l} (*_{j,l} \times e^{\varphi^{(j,l)}(y)}$$

ストークス係数
(y に応じて値が飛ぶ)

$$\left(\begin{aligned} \varphi^{(j,l)}(y) &= \int dy [R^{(j)}(y) - R^{(l)}(y)] \\ R^{(j)}(y) &= R(e^{-2\pi i(j-1)}y) \quad F(R^{(j)}(y), y) = 0 \end{aligned} \right)$$

(5,2) ↔ (2,5) 模型



更に積分路追加の自由度がある

steepest descent

次の2つの系は同じか？

$$\mathcal{Z} = \int dX dY e^{-N \text{tr} [V_1(X) + \frac{Y^2}{2} - XY]}$$

gaussian

“Yを先に積分”

“Xを先に積分”

X-system

Y-system

$$\mathcal{Z} = \int dX e^{-N \text{tr} V(X)}$$

one-matrix model

ghost instanton modes

\bar{x}

ghost instanton modes

$$\mathcal{F} \simeq \mathcal{F}_{\text{pert}} + e^{\overline{\ast} \frac{1}{g} S_I} + \dots \quad S_I = -\mathcal{F}_0^{(I)} < 0$$

[Okuda-Takayanagi]

ghost instanton modes

$$\mathcal{F} \simeq \mathcal{F}_{\text{pert}} + e^{\overline{*} \frac{1}{g} S_I} + \dots \quad S_I = -\mathcal{F}_0^{(I)} < 0$$

[Okuda-Takayanagi]

大きなインスタントンなので、両サイドで同様に見える

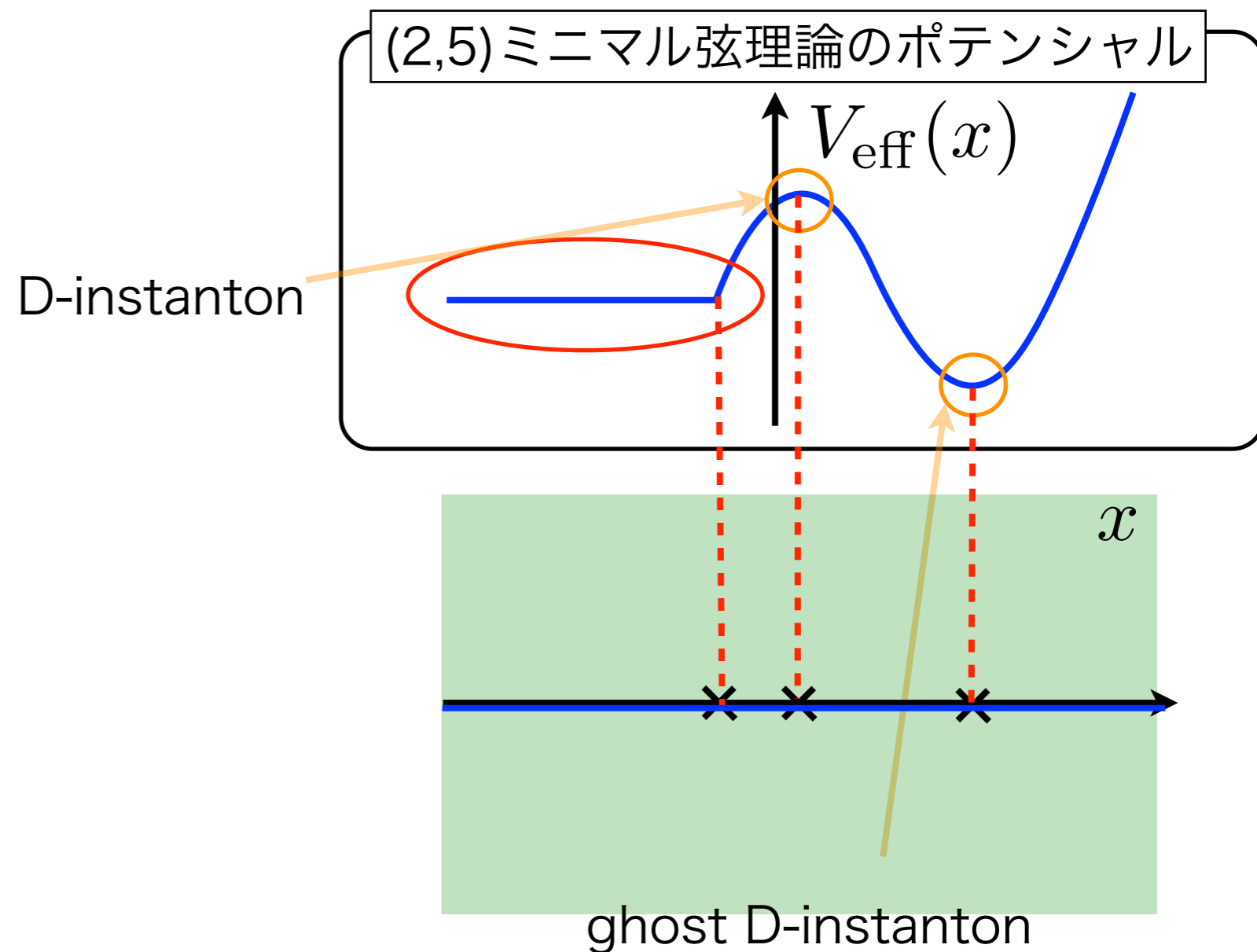
ghost instanton modes

$$\mathcal{F} \simeq \mathcal{F}_{\text{pert}} + e^{\overline{*}\frac{1}{g}S_I} + \dots \quad S_I = -\mathcal{F}_0^{(I)} < 0$$

[Okuda-Takayanagi]

大きなインスタントンなので、両サイドで同様に見える

(5.2) ↔ (2.5) 模型



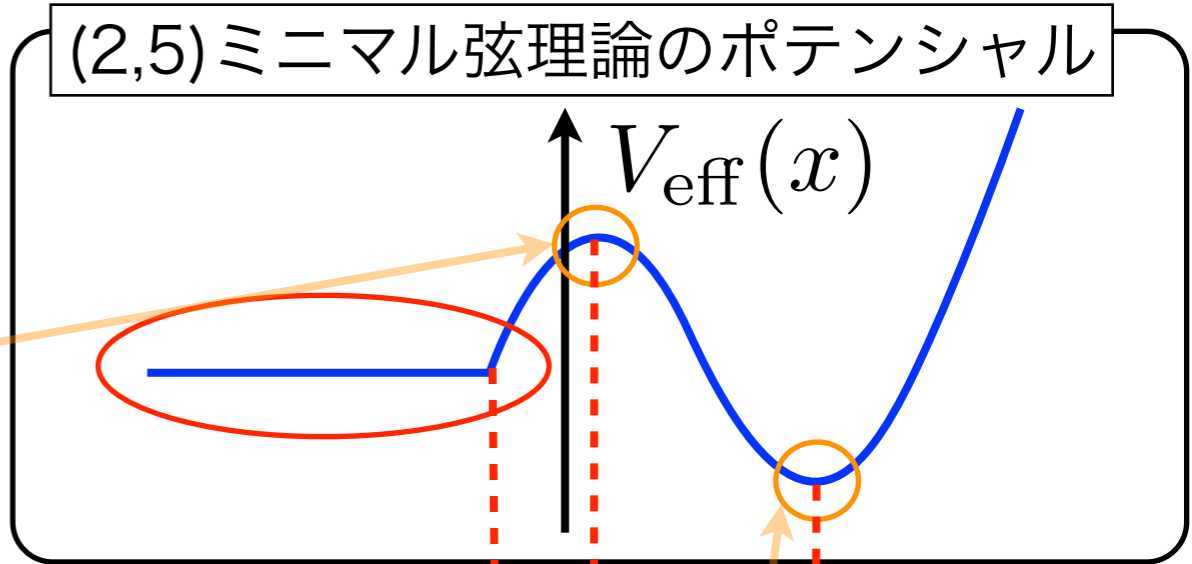
ghost instanton modes

$$\mathcal{F} \simeq \mathcal{F}_{\text{pert}} + e^{\overline{\ast} \frac{1}{g} S_I} + \dots \quad S_I = -\mathcal{F}_0^{(I)} < 0$$

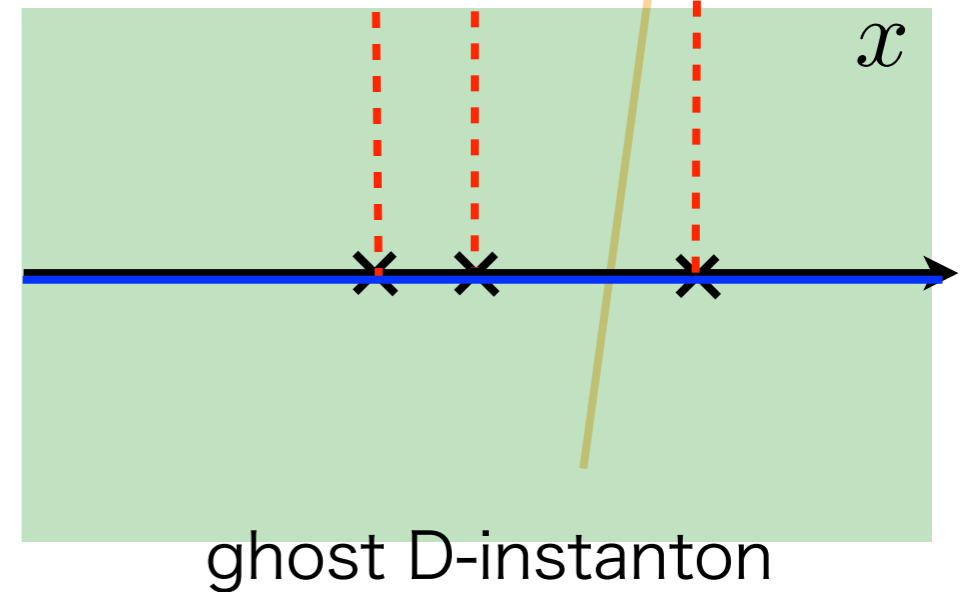
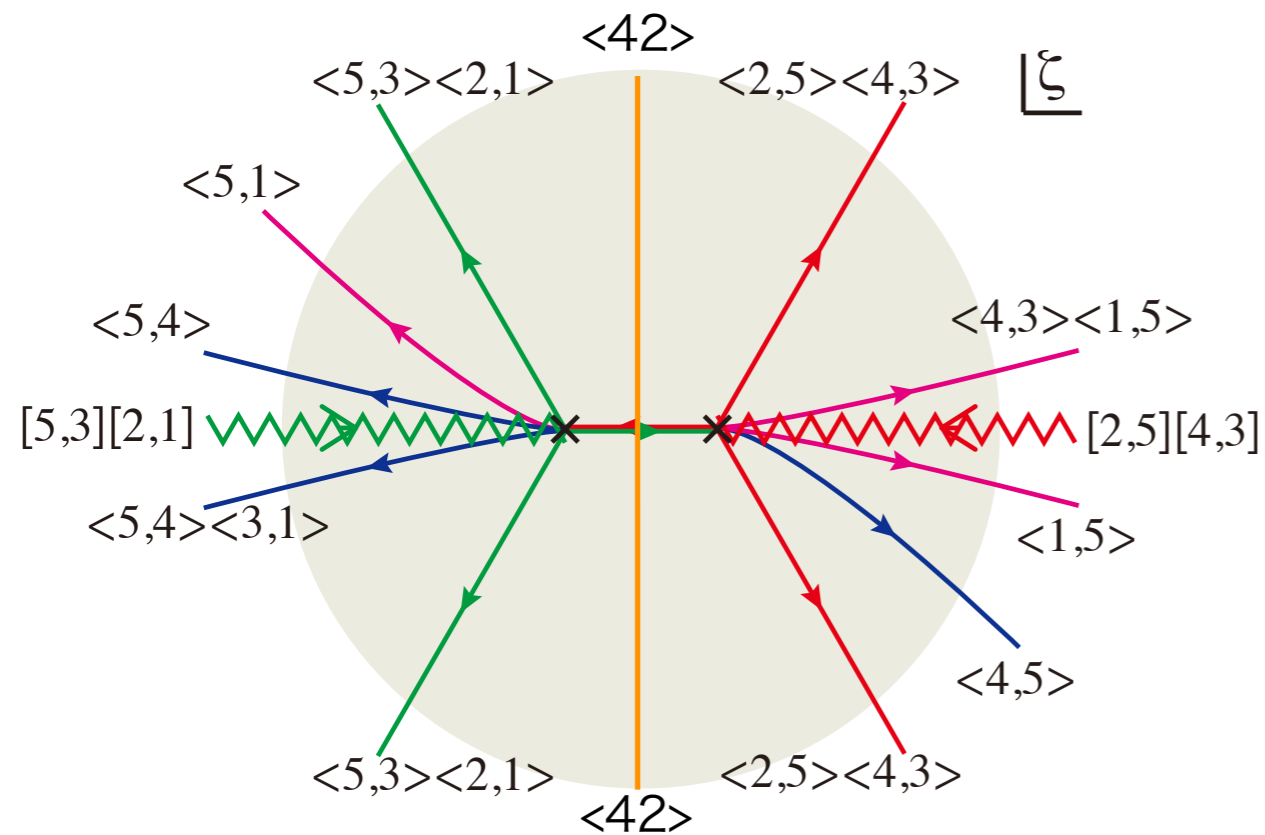
[Okuda-Takayanagi]

大きなインスタントンなので、両サイドで同様に見える

(5,2) ↔ (2,5) 模型



D-instanton



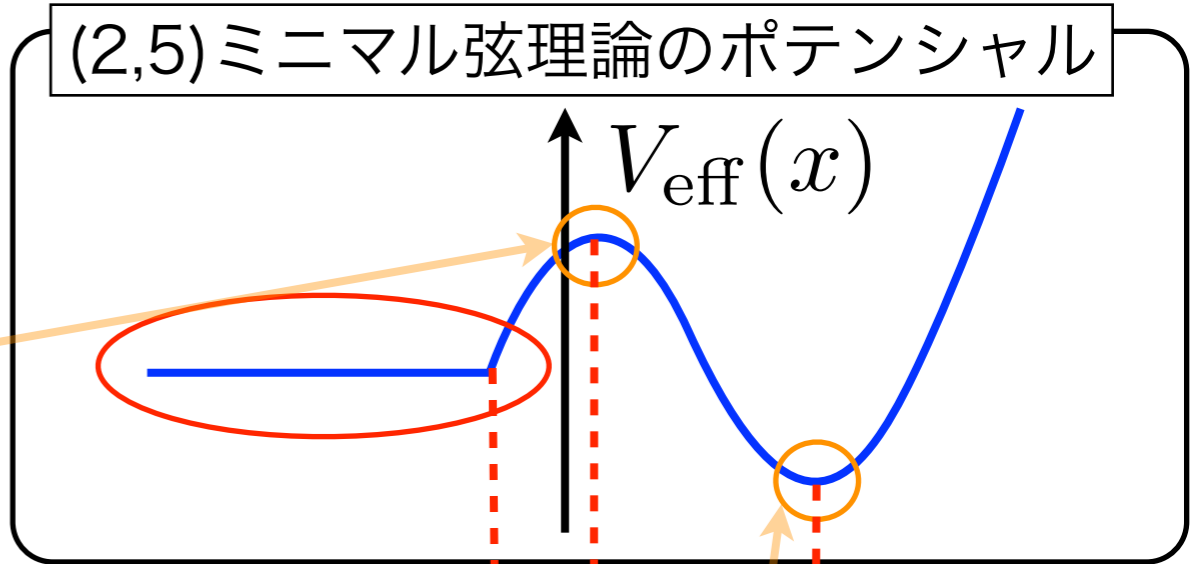
ghost instanton modes

$$\mathcal{F} \simeq \mathcal{F}_{\text{pert}} + e^{\overline{\ast} \frac{1}{g} S_I} + \dots \quad S_I = -\mathcal{F}_0^{(I)} < 0$$

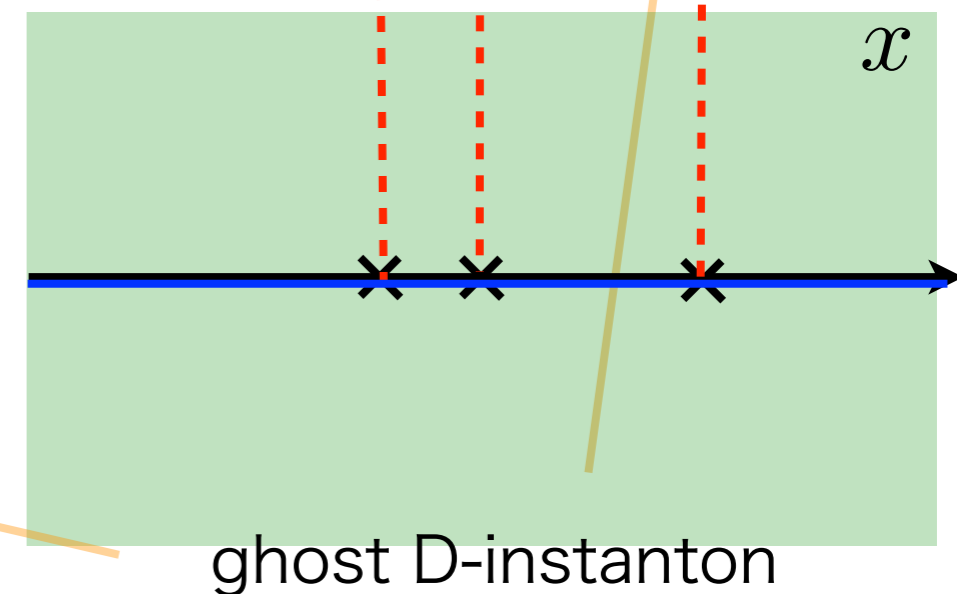
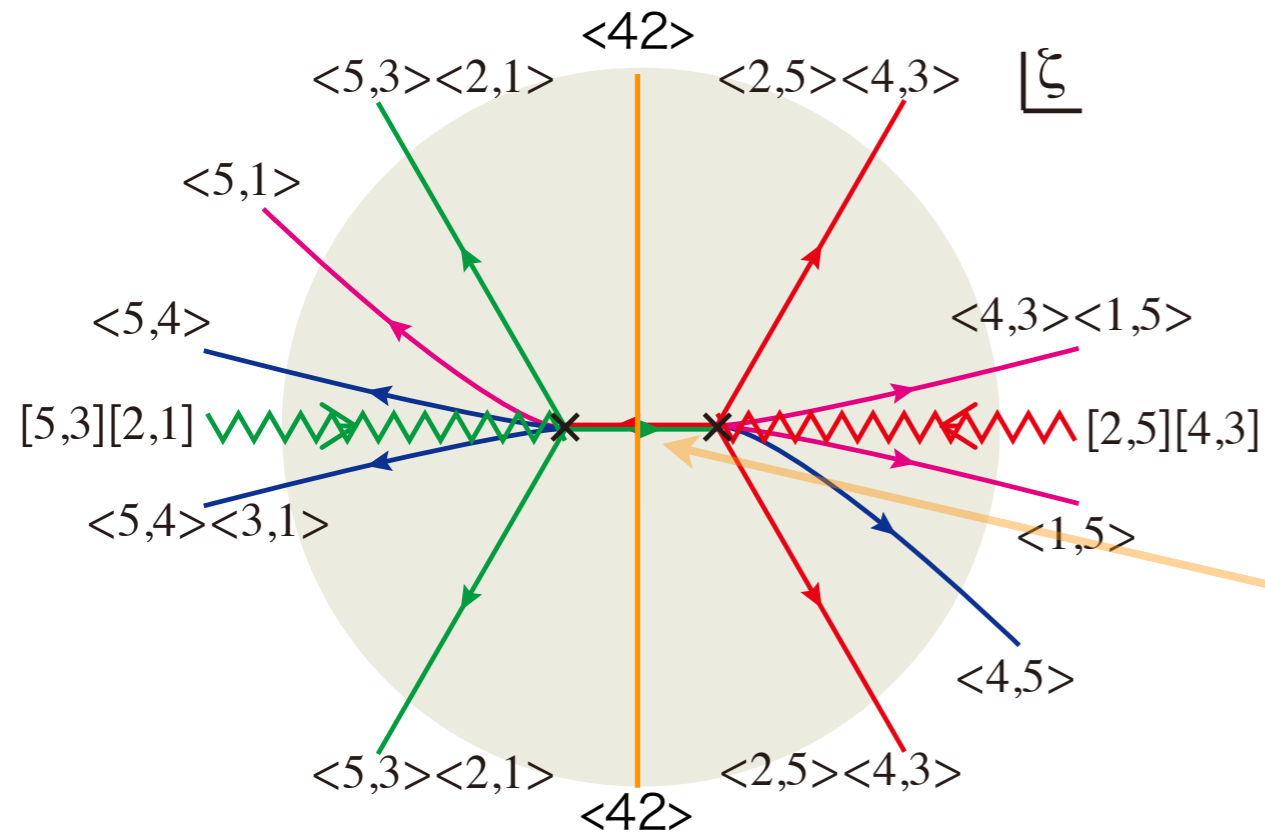
[Okuda-Takayanagi]

大きなインスタントンなので、両サイドで同様に見える

(5,2) ↔ (2,5) 模型



D-instanton



ghost D-instanton

ghost instanton modes

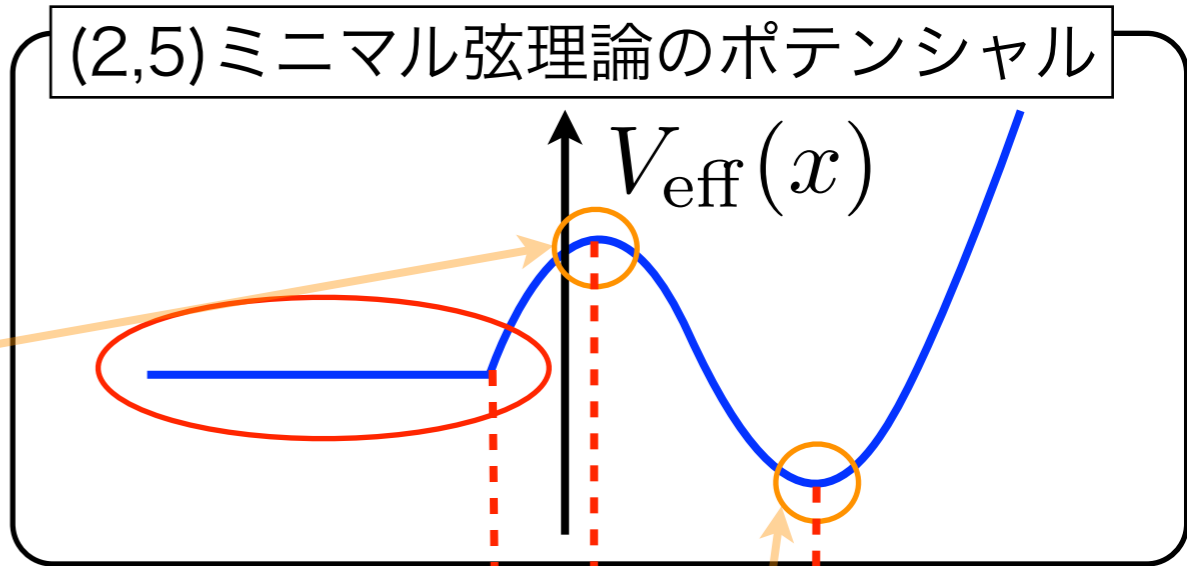
$$\mathcal{F} \simeq \mathcal{F}_{\text{pert}} + e^{\overline{*} \frac{1}{g} S_I} + \dots \quad S_I = -\mathcal{F}_0^{(I)} < 0$$

[Okuda-Takayanagi]

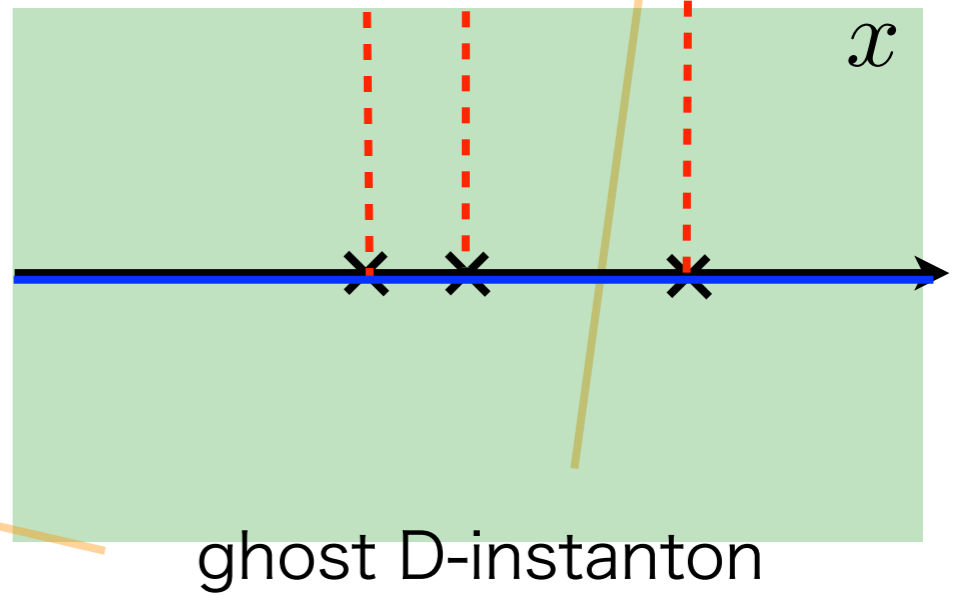
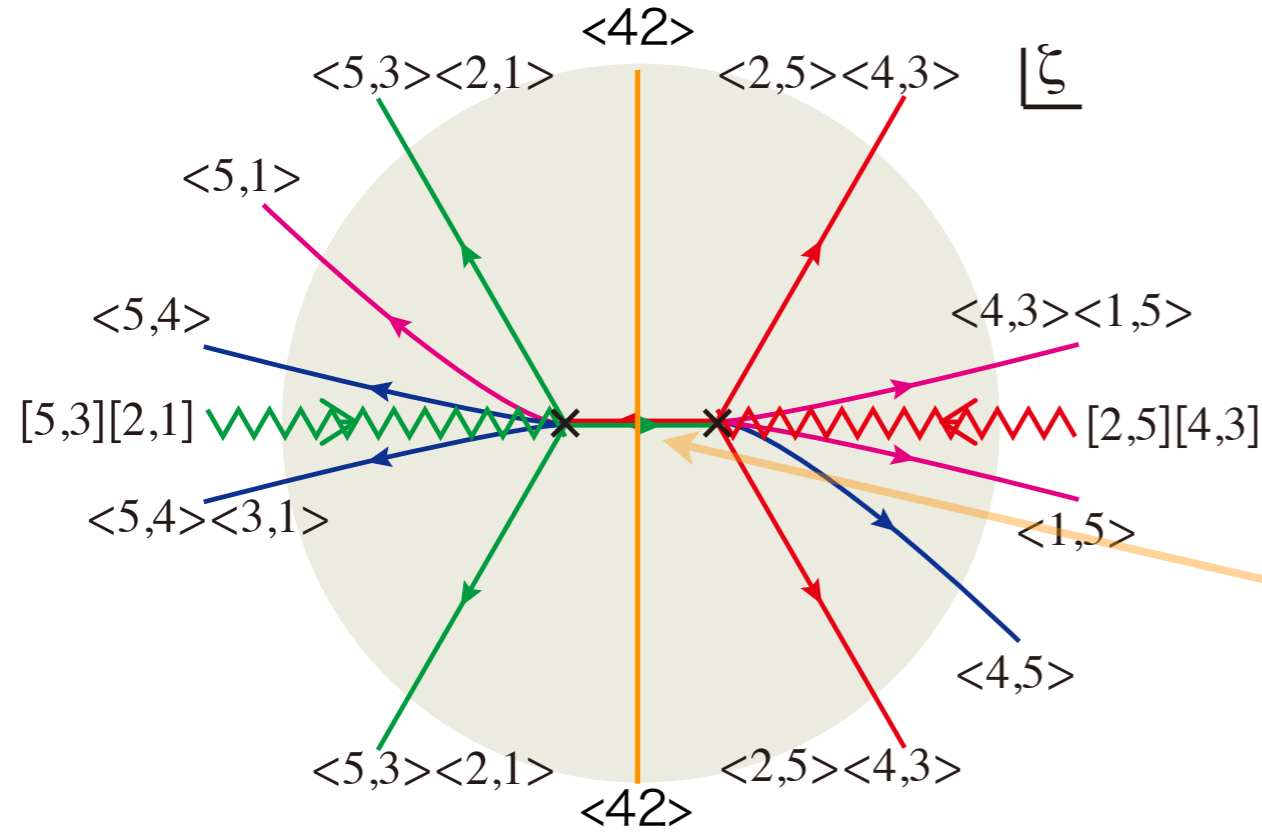
大きなインスタントンなので、両サイドで同様に見える

(5,2) ↔ (2,5) 模型

これは行列模型では
実現できない

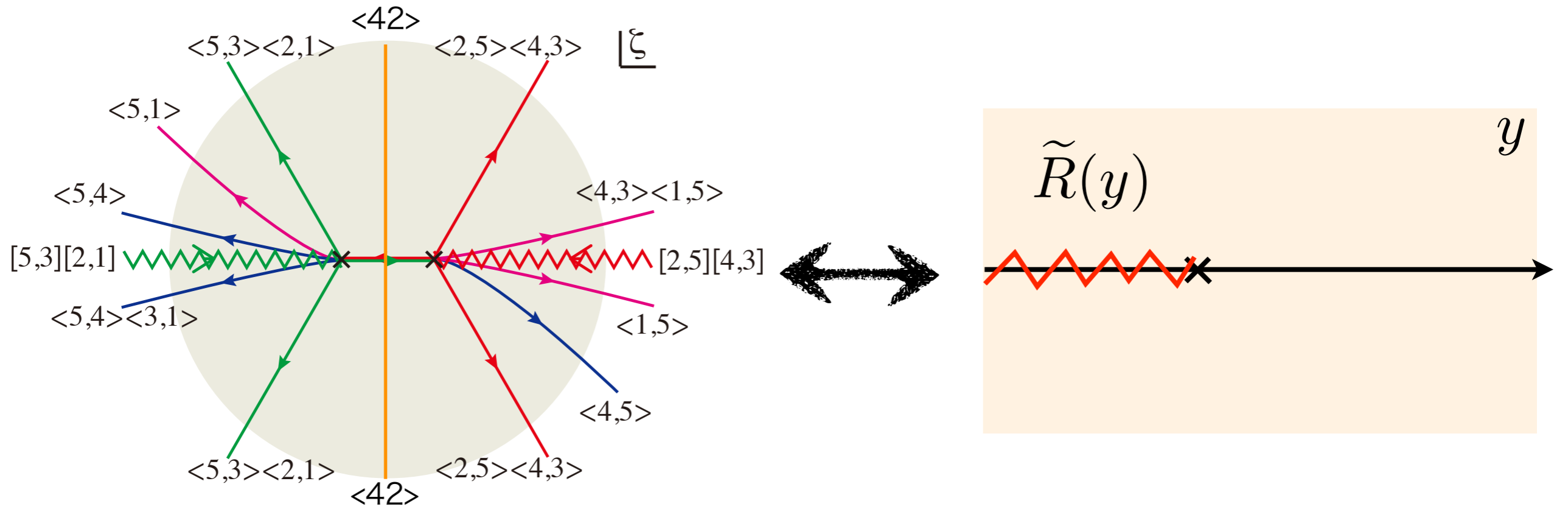


D-instanton

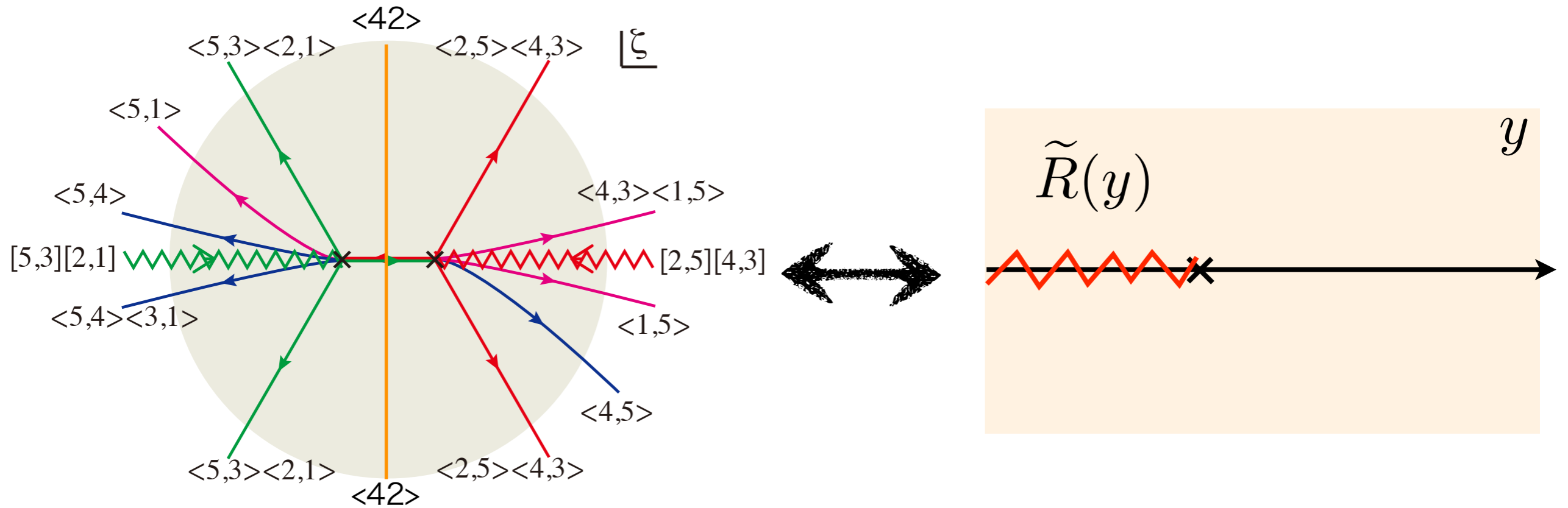


ghost D-instanton

One-cut Boundary condition

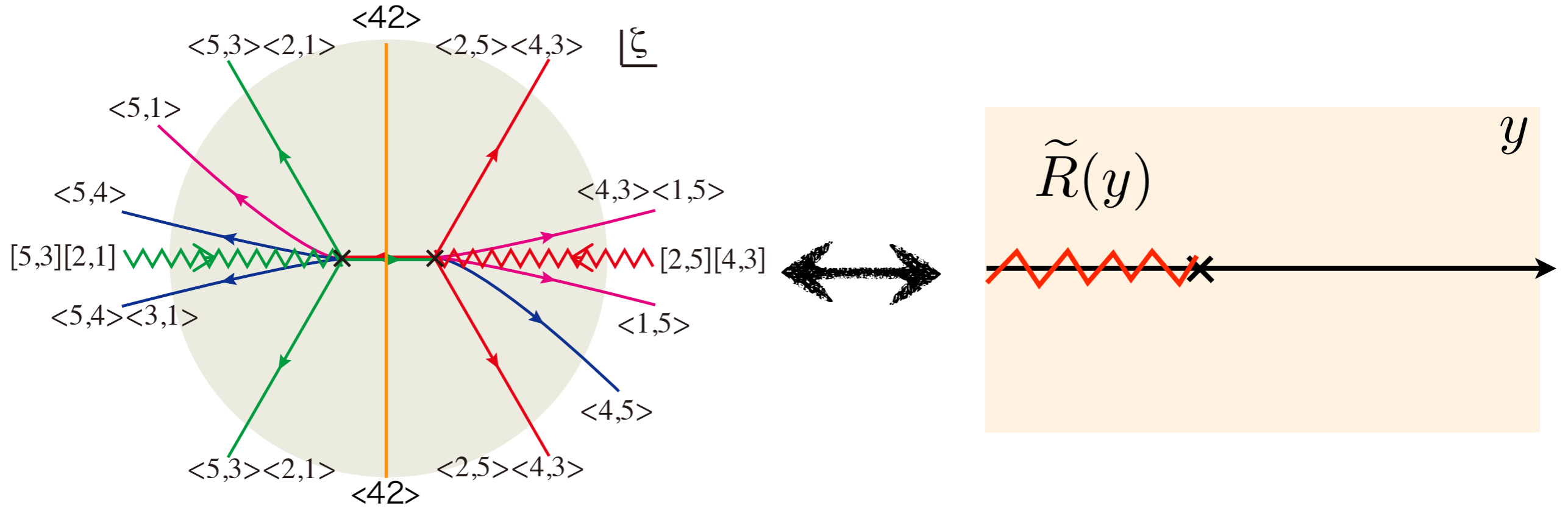


One-cut Boundary condition



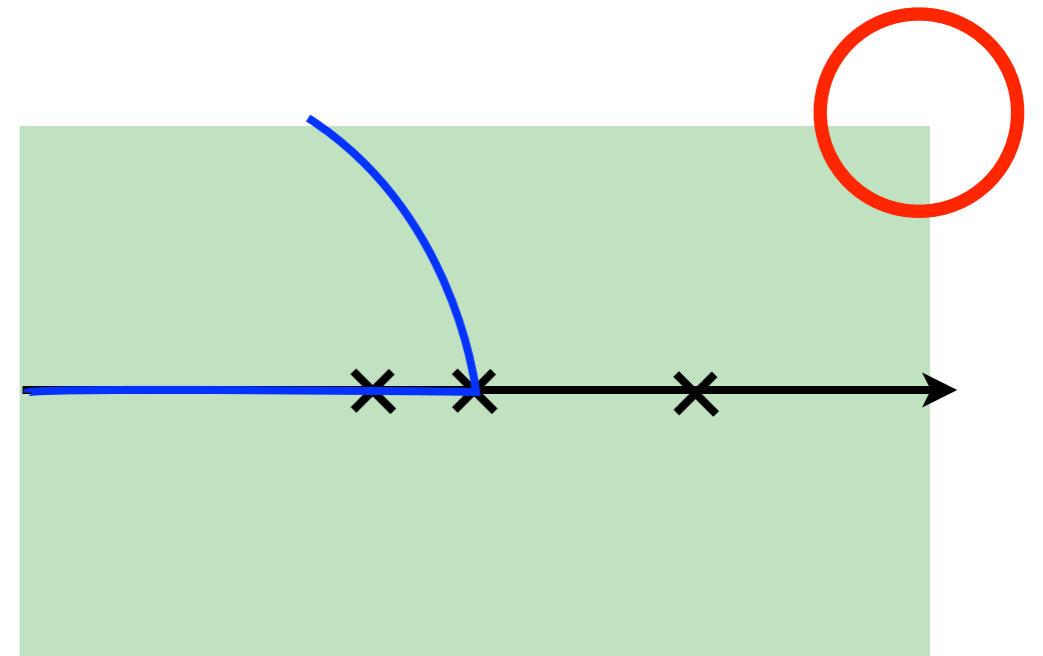
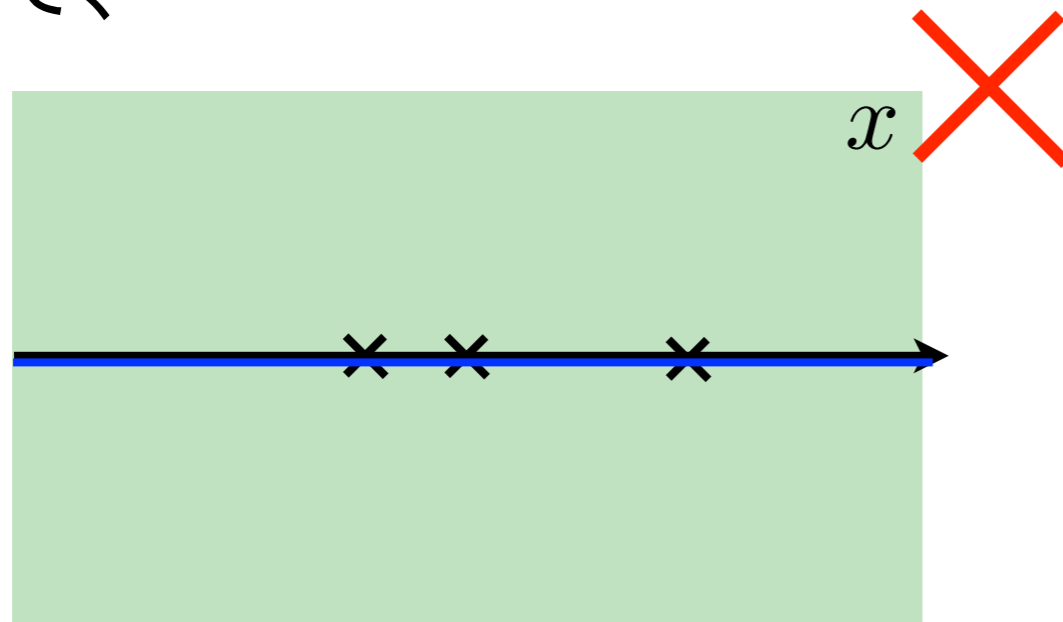
これが両立しない

One-cut Boundary condition



これが両立しない

従って、



まとめ

- 摂動論（ラージN）で双対性が見える
v.s. 非摂動論で双対性が実現される
- 非摂動的定式化が非摂動的不定性
(Non-perturbative [contour] ambiguity)
を持ちうること
- 双対性を非摂動論的に捉えることができれば、
非摂動論的不定性が制限される

New Technique

Stokes Phenomena + Topological Recursion

= All-order Riemann-Hilbert analysis [CIY5]

ご清聴ありがとうございました